Submitted on: 01/01/2025

Revised forme accepted on: 24/02/2025

Corresponding author: Belkacem1988@hotmail.co.uk



Revue Nature et Technologie

https://journals.univ-chlef.dz/index.php/natec

Research Article ISSN: 1112-9778 – EISSN: 2437-0312

توجيه وتحكم مبتكر ثلاثي الأبعاد باستخدام تقنية المطاردة المنزلقة للصواريخ أرض-جو

بخیتی بلقاسم 1 ، نایل البشیر 2 ، حسین لوبار 3 ، و کمال حریش

امعهد الطيران والدراسات الفضائية بجامعة البليدة، الجزائر 2كلية العلوم والتكنولوجيا، جامعة الجلفة، الجزائر مختبر الأنظمة والإشارة بمعهد الهندسة الكهربائية والإلكترونيك بجامعة بومرداس، الجزائر

Citation : BEKHITI Belkacem, Nail B, Loubar H and Hariche K, (2025), توجيه وتحكم مبتكر ثلاثي الأبعاد باستخدام تقتية المطاردة المنزلقة للصواريخ أرض-جو (A Novel 3D Sliding-Pursuit Guidance and Control of SAM Missiles), Revue Nature et Technologie, 17 (1) (2025) : 59-81.

https://www.asjp.cerist.dz/en/PresentationRevue/47

ملخص

شهد مجال توجيه الصواريخ والتحكم فيها تطورًا جذريًا على مدى الثلاثين عامًا الأخيرة، حيث ظهرت العديد من التقنيات و الأساليب التي تهدف إلى تحقيق دقة عالية في اعتراض الأهداف، حتى في ظل وجود بيئات مليئة بالضوضاء وعدم اليقين. تعتمد أنظمة توجيه الصواريخ على مجموعة من الخوار زميات والقوانين من أبرزها المطاردة الصرفة (Pure Pursuit -PP)، والتحكم بخط البصر (Command to Line of Sight - CLOS)، و الملاحة التناسبية (Proportional Navigation - PN) بين مستشعر التتبع و الهدف. في هذا العمل، نعرض قانون توجيه مبتكر يعتمد على المطاردة المنزلقة ثلاثية الأبعاد، مصمم للتحكم في صواريخ أرض-جو ضد أهداف مناورة و لتقييم فعالية و أداء الخوارزمية الجديدة نقارنها مع قوانين التوجيه المتاحة مثل (Zero Effort Miss-Distance ZEM) و 32-PP3، مع التركيز على دقة الإصابة وزمن الوصول. تؤكد النتائج

الكلمات المفتاحية: توجيه المطاردة المنزلقة، تحسين السرب الجزيئي، صاروخ أرض-جو، هدف مناور، الملاحة التناسبية، توجيه المطاردة الصرفة

A Novel 3D Sliding-Pursuit Guidance and Control of SAM Missiles

Abstract

The field of missile guidance and control has undergone significant advancements over the past thirty years, with numerous techniques and methods emerging to achieve high-precision target interception, even in noisy and uncertain environments. Missile guidance systems rely on a range of algorithms and laws, among which the Pure Pursuit (PP), Command to Line of Sight (CLOS), and Proportional Navigation (PN) are the most prominent. All of these approaches are based on establishing a Line of Sight (LOS) between the tracking sensor and the target. In this work, we propose an innovative guidance law based on three-dimensional sliding pursuit, designed to control surface-to-air missiles against manoeuvrings targets. To evaluate the effectiveness and performance of the new algorithm, we compare it with existing guidance laws such as Zero Effort Miss-Distance (ZEM) and D-PP3, with a focus on impact accuracy and time-to-intercept. The results confirm the efficiency of the proposed law and its superiority over current methods.

Keywords: Sliding pursuit guidance, PSO optimization, Surface-To-Air Missiles, Maneuvering target, Proportional navigation, Pure pursuit guidance

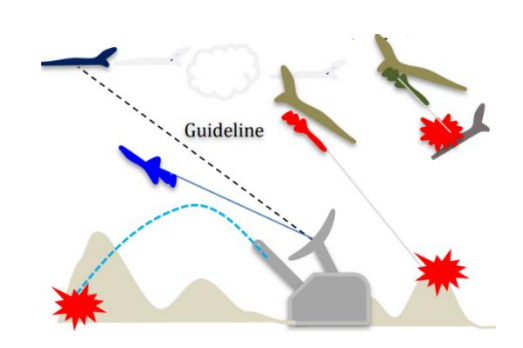
طير انها. كما يتم تعريف نظام التوجيه الصاروخي على أنه مجموعة من المكونات والخوار زميات التي تقيس موقع الصاروخ الموجه بالنسبة لهدفه وتصحح مسار الرحلة كما هو مطلوب. ويشتمل نظام التوجيه الصاروخي

1. مقدمة في التوجيه الصاروخي

تُعرف الصواريخ الموجهة في بأنها تلك المركبات الغير مأهولة والتي بإمكانها أن تسبح في الفضاء وتحمل على متنها وسائل التحكم في مسار



على مكونات الاستشعار والحوسبة والتوجيه و نظام الاستقرار والتحكم الاتوماتيكي (الألي).ويتم أيضا تصنيف الصواريخ الموجهة بشكل أساسي إلى أنواع وفئات مختلفة بناءً على مصدر الإطلاق والهدف [1]: سطح- جو و جو- سطح و شطح - سطح و أخيرا جو- جو (صورة 1).



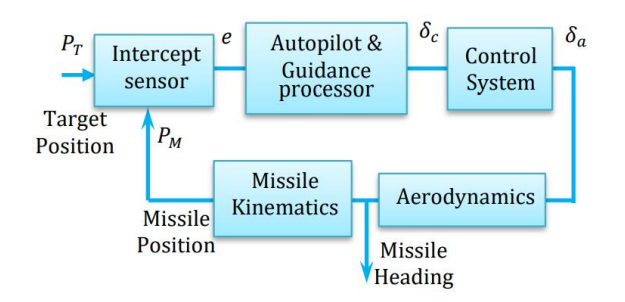
صورة 1: أنواع الصواريخ وتصنيفاتها بناءً على الهدف والمسار

تشير كلمة ملاحة أفي سياق التوجيه الصاروخي إلى عملية تحديد و تخطيط مسار الصاروخ من موقع معلوم إلى موقع الهدف المطلوب [2].و في هذا الميدان يحتاج الصاروخ إلى اتباع المسار المخطط له، والذي يتضمن تعديل اتجاهه وسرعته بشكل مستمر حيث يأتي دور خوار زميات التوجيه مثل التحكم في مجال المتجهات.أما عن التوجيه فهو مصطلح عام يصف الأجهزة والوظائف والعمليات المستخدمة لتوجيه الصاروخ لاعتراض الهدف. لذلك نقول إن الإرشاد هو عملية توجيه مسار الجسم نحو نقطة معينة، والتي قد تكون متحركة بشكل عام فإذا كانت النقطة المحددة ثابتة وكان الجسم الموجه مأهولًا، فإن عملية تحديد المسار وتخطيطه هي مجرد ملاحة أي إنها مجرد فئة فرعية من التوجيه.

قانون التوجيه³ هو الخوارزمية التي يتم من خلالها تنفيذ القاعدة الهندسية المطلوبة (صورة 2).فعندما يستشعر جهاز التحسس الموجود برأس الصاروخ⁴ بخطأ الاعتراض اللحظي و يحدده، يقوم معالج التوجيه⁵ بعد ذلك بتحديد أوامر المناورة المناسبة، بناءً على قانون التوجيه، لتقليل الخطأ [3].

عملية المعالجة تتم من خلال حواسيب رقمية عالية الدقة موجودة على متن الصاروخ حيث بعد تحديد قانون التوجيه المناسب يقوم الطيار الآلي 6 بإنشاء التحكم المطلوب ثم يرسل إشارات رقمية إلى مشغلات نظام التحكم لتحريف أسطح التحكم عن طريق المحركات الكهربائية أو الهيدروليكية [4]. بمجرد أن يحدد معالج التوجيه حجم و اتجاه الخطأ في مسار طيران

الصاروخ و يحدد الطيار الآلي أمر التوجيه، يجب على نظام التحكم الصاروخي ضبط أسطح التحكم لإنتاج التسارع المطلوب لتصحيح مسار الطيران. يتم تطبيق هذا التسارع التصحيحي في اتجاه شاقولي (عمودي على مسار طيران الصاروخ) لتغيير اتجاه شعاع سرعة الصاروخ.



صورة 2: الحلقة المغلقة والشاملة للملاحة والتوجيه والتحكم بالصواريخ

تستخدم معظم الصواريخ الموجهة الـ (thrusters المناورة و التحكم في زواياها الرأسية لكن بعضها يستخدم مزيجًا من كل ما ذكر [2]. السؤال المطروح هو ماهية الإشارة التي يجب على المحركات تطبيقها على الاجنحة. و هذا هو الغرض من نظام التحكم، الذي يتكون من:

- الملاحة: هي الإجابة عن السؤال أين أنا؟ (تحديد وتخطيط المسار)
- التوجيه: أين أريد أن أكون؟ (ابحث عن الحالة المطلوبة لاعتراض الهدف)
- التحكم: كيف أصل إلى هناك؟ (جعل الصاروخ يؤدي المهمة المطلوبة)

بمزيد من التفاصيل، يحدد جزء الملاحة الموقع الحالي من قياسات المستشعر كما يحدد جزء التوجيه ما هو الوضع المطلوب و ما هو الخطأ في التوجه (أي بناءً على جزء التنقل) يحدد جزء التحكم المدخلات التي يجب تطبيقها على الصاروخ لتصحيح الخطأ و يرسل أمرا بذلك إلى المشغلات (المحركات) نظام التحكم هو العقل المدبر في أي عملية أتوماتيكية سواء كانت في مجال الفضاء، أو الميكانيك، أو الكهرباء، أو الميكاترونيك، أو الكيمياء، إلخ ... الغرض منه هو جعل النظام يؤدي المهمة المطلوبة من أجل الحفاظ على هذا الغرض، يتم انحراف أسطح التحكم المتحركة بأوامر من نظام القيادة لتوجيه الصاروخ، أي أن نظام التوجيه سيضع الصاروخ على المسار المناسب لاعتراض الهدف [5] .

⁴ Seeker or Interception sensor

⁵ Guidance processor

⁶ Autopilot

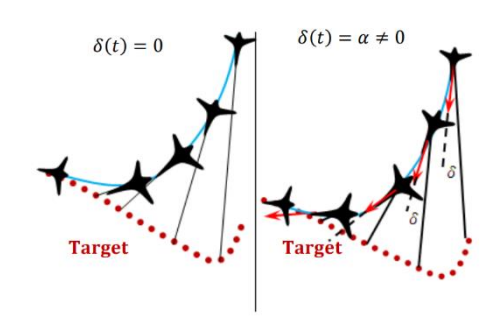
¹ Navigation

² Guidance: الإرشاد أو القيادة

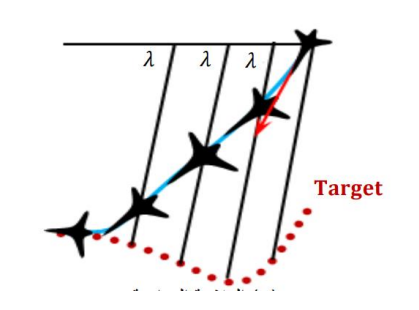
³ Guidance law

إن التتبع الصاروخي الموجه هو عملية ديناميكية للغاية، و الظروف التي تحدد مدى اقتراب الصاروخ من الهدف تتغير باستمرار و أحيانا بمعدل مرتفع للغاية و لذلك يقوم مستشعر التوجيه بقياس واحد أو أكثر من معلومات مسار الصاروخ بالنسبة للهدف. بناءً على قياسات المستشعر فإن هناك حاجة إلى عملية منطقية لتحديد تصحيحات مسار الرحلة المطلوبة وهذه العملية تسمى بقانون التوجيه، الغرض منه جعل الصاروخ يقترب قدر الإمكان من الهدف و في أقصر وقت ممكن [6].

من بين المخططات المختلفة و المتعددة في التوجيه الصار وخي نذكر: المطاردة الخالصة، المطاردة المنحرفة، الملاحة المتوازية، الملاحة التناسبية، التوجيه الشعاعي، و غيرها من الأساليب المعتمدة على نظرية التحكم الحديثة [7]. كما هناك أنواع عديدة لاعتراض الأهداف، و لكننا نوضح هنا بيانياً عدداً قليلاً منها، و هي: المطاردة الخالصة، والمطاردة المنحرفة، و الملاحة الموازية (صورة 3).



(ب) المطاردة المنحرفة (أ) المطاردة الخالصة



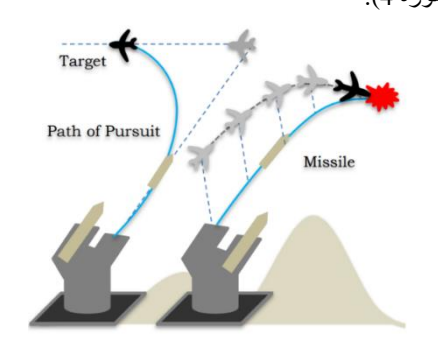
(ج) الملاحة الموازية

صورة 3: توضيح بياني لأنواع الملاحة والتوجيه الشهيرة لاعتراض الأهداف

في الصورة 3 تشير $\delta(t)$ إلى زاوية الانحراف بين خط الرؤية (LOS) ومتجه سرعة المعترض وتشير $\lambda(t)$ إلى زاوية خط الرؤية بالنسبة للخط المرجعي⁷.

مسار المطاردة الخالصة: إن أبسط إجراء لصاروخ موجه نحو هدف متحرك هو تشخيص و توصيف مسار المطاردة بدقة، ثم يتجه الصاروخ على طول خط الإبصار في كل لحظة. بالتالي، فإن معدل دوران الصاروخ يساوي دائمًا معدل دوران خط الرؤية و هذه هي بالضبط ما تسمى بالمطاردة الخالصة أو المباشرة.أما عن مسارات هذا النوع من المطاردة فإنها منحنية اللغاية قرب نهاية الرحلة.

مسار الملاحة الموازية و: يتم تحديده بواسطة القاعدة ($\lambda(t) = \lambda(t)$ ويؤدي بشكل عرضي إلى شكل من أشكال التمويه الحركي لأن المطارد (المعترض) يبدو ثابتًا على خلفية بعيدة 10. تصف الملاحة الموازية حقيقة أنه عندما يقترب الجسمان من بعضهما البعض في مسار تصادمي، فإن خط البصر لا يدور بالنسبة للعالم الخارجي (يمثل هنا خط المرجع). وهذا يعني أن زاوية الحمل λ ، المتكونة بين خط المرجع و LOS لا تتغير مع مرور الوقت (صورة 4).



صورة 4: مسار كل من الملاحة بالمطاردة الخالصة والملاحة المتوازية في تتبع الهدف

2. أنماط التوجيه الذاتى المختلفة في تسخير الصواريخ

يُطلق على نظام التوجيه اسم "homing" إذا اكتشف الصاروخ M الهدف T و تتبعه بفضل الطاقة المنبعثة من هذا الأخير. إذا كان مصدر طاقة الهدف T نقى ومناسب، على سبيل المثال، البث الإذاعى، و

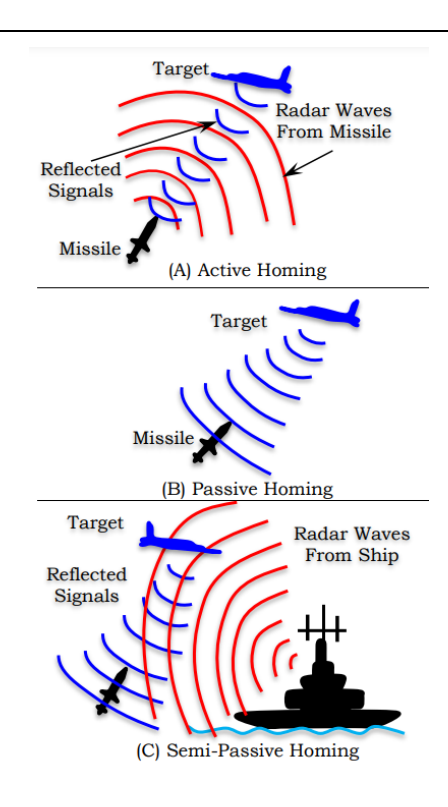
Parallel Pursuit
10 بُسمي، أبضًا اتجاه الهدف المطلق الثابت أو الاتجاه الثابت الزاوية

Angle of LOS to a reference line
8 هذه المنحنيات هي مسار ات التتبع المباشر ؛ وستتم مناقشة الأنواع الأخرى من مسار ات التتبع لاحقًا

الضوضاء الصوتية، و الحرارة، و التوجيه يسمى سلبيًا أما إذا كانت T تعكس الطاقة التي تبثها M، فهذا يُعتبر صاروخ موجه نشط.

أما في الأنظمة شبه النشطة، تعتمد M على الطاقة المنعكسة بواسطة T، حيث يتم "إضاءة" الأخيرة بواسطة مصدر I خارج عن كليهما. كما هو مذكور هنا، قد يكون homing guidance من النوع النشط، أو السلبي [5].العبارة "homing guidance" تُستخدم لوصف نظام صاروخي يمكنه استشعار الهدف ببعض الوسائل، ثم توجيه ذاته إلى الهدف عن طريق إرسال الأوامر إلى أسطح التحكم الخاصة به. يعد الـ "homing" مفيدًا في الصواريخ التكتيكية حيث تتطلب اعتبارات مثل التشغيل المستقل و عادةً ما يكون استشعار حركة الهدف من الصاروخ (أو الجسم المُطارد) نفسه [8].

- الصواريخ ذات التوجيه النشط: قادرة على توجيه ذاتها بشكل مستقل بعد إطلاقها إلى الهدف و هي تنتمي إلى ما يسمى بفئة launch-and- تحمل مصدرا الإشعاع تُرسله لضرب الهدف ثم ينعكس مرة أخرى إليه. هكذا فإن الصاروخ يوجه ذاته على هذا الإشعاع المنعكس. و في التوجيه النشط، يحتوي الصاروخ على جهاز إرسال رادار و جهاز استقبال.
- الصواريخ ذات التوجيه السلبي: تستخدم الإشعاع الصادر عن الهدف، أو عن مصدر آخر ليس جزءًا من نظام الأسلحة الشامل. عادة، ما يكون هذا الإشعاع في مجال الأشعة تحت الحمراء أو المجال المرئي، و لكنه قد يحدث أيضًا في مجال الموجات المايكروية.
- الصواريخ ذات التوجيه الشبه نشط: تستخدم مزيجًا من التوجيه النشط و السلبي. مصدر الإشعاع هو جزء من النظام لكن لا يحمله الصاروخ. بشكل أكثر تحديدًا، يُشع المصدر المستقل للإشعاع الطاقة إلى الهدف، حيث تنعكس الطاقة مرة أخرى إلى الصاروخ بحيث يستشعر الصاروخ الإشعاع المنعكس و بذلك يتوجه إليه (صورة 5).



صورة 5: مخطط توضيحي لأنواع مختلفة من أنظمة التوجيه [السلبية و شبه السلبية و النشطة]

3. أنواع مختلفة من قوانين التوجيه

تكون الصواريخ_ذات أهمية كبيرة عندما نكون الأهداف عبارة عن أشياء متحركة ديناميكيًا. يتطلب القضاء على هدف متحرك عشوائي ذخائر ذكية بما يكفي للمناورة و المتابعة و المطاردة على أمل أن يقترب بما يكفي لإحداث الضرر. مع ذلك، فإن الأفعال "يتتبع" و"يطارد" تخفي وراءها الكثير من المهارة في التنفيذ.

تم تطوير العديد من الأنظمة المتطورة و المعقدة لتنفيذ قواعد التحكم في التوجيه الصاروخي و هي بالترتيب الزمني والتعقيد الرياضي تقريبًا على النحو التالى [5]:

- المطاردة الخالصة (أو مجرد مطاردة)
- التتبع بخط الرؤية (المطاردة عبر شعاع الإبصار)
 - الملاحة الموازية (التوجيه الثابت)
 - الملاحة ذات الاقتراب الجيد وبأقل مناورة
 - الملاحة التناسبية وهي الأشهر
 - الملاحة الأمثل (على شكل فضاء الحالة)
- الملاحة الحديثة (كالملاحة القائمة على الذكاء الاصطناعي)

3.1. المطاردة المباشرة 11

يعتبر منحنى المطاردة 12 أول ما درس من هذه الانواع السالفة الذكر، و كانت دراسته على يد الباحث Pierre Bouguer من قبل عالم الرياضيات Bouguer في مقال عن الملاحة، حدد Bouguer منحنى المطاردة لاستكشاف الطريقة التي قد تناور بها سفينة ما أثناء مطاردة سفينة أخرى و يتم إنشاؤه عن طريق القياس على وجود نقطة أو نقاط تمثل الملاحقين "Pursuers" و في هذه الحالة منحنى المطاردة هو المنحنى الذي يتتبعه الملاحقون.

أحد قوانين التوجيه الأكثر وضوحًا و بدائية هو توجيه المطاردة المباشرة، حيث يتم توجيه شعاع سرعة الصاروخ نحو موقع الهدف في أي لحظة زمنية، و أحد الاشكال المستخرجة من هذه المطاردة هو التتبع المنحرف بزاوية ثابتة طوال المسار تتطلب كل من قوانين المطاردة المباشرة و المنحرفة مسعدل دوران مرتفع جدًا عند الاقتراب من السباشرة و المنحرفة مسعدل دوران مرتفع جدًا عند الاقتراب من السبافة من الصاروخ إلى الهدف، عند ضربه بطويلة سرعة الصاروخ، يساوي شعاع سرعة الصاروخ مضروب بالمسافة بين المركبة و الهدف. هذه المحاذاة أو المساواة هي المفهوم الأساسي لخوارزمية المطاردة الخالصة، مما يضمن توجيه الصاروخ نحو الهدف. إن معيار مسار المطاردة الخالص هو أن الصاروخ يتجه دائمًا مباشرة نحو موقع الهدف الحالي [11].رياضيا نكتب:

$$\left\| \frac{d\vec{\mathbf{r}}_m}{dt} \right\| \cdot \vec{\mathbf{r}} = \|\vec{\mathbf{r}}\| \frac{d\vec{\mathbf{r}}_m}{dt} \quad \text{or} \quad \frac{\vec{\mathbf{v}}_m}{\mathbf{v}_m} = \frac{\vec{\mathbf{r}}}{r}$$
 (1)

or
$$\vec{\mathbf{v}}_m = \mathbf{v}_m \vec{\mathbf{e}}_r$$
 where $\vec{\mathbf{e}}_r = \vec{\mathbf{r}}/r$ (2)

نهاع الموقع الحالي للمركبة (الصاروخ) . $\vec{\mathbf{r}}_t$: شعاع موضع الهدف. $\vec{\mathbf{r}}=\vec{\mathbf{r}}_t-\vec{\mathbf{r}}_m$: المتجه النسبي من الصاروخ إلى الهدف.

يسرعة الصاروخ. $\mathbf{v}_m = d \vec{\mathbf{r}}_m/dt$

المعادلة أعلاه تضمن لنا أنّ اتجاه حركة الصاروخ تتماشى مع اتجاه الموقع المستقبلي للهدف، ذلك أنه يجب على الصاروخ أن يقوم بتعديل توجيهه و تحريف مساره نحو المكان الذي سيكون فيه الهدف في المستقبل، و ليس فقط حيثما هو موجود حاليًا [12] . لشرح القيادة بالمطاردة المباشرة بشكل جيد للغاية، ندرس المثال التالي: إذا كان الهدف T يتحرك على طول منحنى معروف، فإن المتتبع (الصاروخ) M يسير وفق منحنى المطاردة وقط إذا كان M موجهًا دائمًا و في كل حين نحو الهدف T، حيث

M يتحرك كل من T و M بسر عات منتظمة. نفترض أن إحداثيات النقطة \mathbf{v}_m هي \mathbf{v}_t و شعاع سر عتها هو \mathbf{v}_t . لنعتبر أن إحداثيات النقطة (الهدف) \mathbf{v}_t هي \mathbf{v}_t هي \mathbf{v}_t النقطة (الهدف) \mathbf{v}_t هي \mathbf{v}_t المتجه الذي يربط الهدف بالملاحِق فإنه يسمى بشعاع خط الإبصار و يُعرَف بالعلاقة:

$$\mathbf{r}(t) = \mathbf{r}_t(t) - \mathbf{r}_m(t) = (x_t - x, y_t - y)$$

إنّ شرط ملاحة الهدف وفق منحنى المطاردة المباشرة هو ما يمكن تلخيصه في العبارة التالية: "ليجب أن يكون وحدة واحدة من شعاع السرعة لل $V_m/v_m=\ddot{\mathbf{r}}/r$ أي $V_m/v_m=\ddot{\mathbf{r}}/r$ أي مساوياً لوحدة واحدة من شعاع خط الإبصار" أي $V_m/v_m=\ddot{\mathbf{r}}/r$ معادلة حركة الهدف تعطى بواسطة:

$$T(t) = (x_t, y_t) = x_{t0}e_x + (y_{t0} + v_t t)e_y$$
(3)

بحيث M و بحيث $y_t = y_{t0} + v_t t$ و $x_t = x_{t0}$ بحيث بالتالي فإن المعادلة بالسرعة الثابتة v_m باتجاه الموضع اللحظي للهدف، بالتالي فإن المعادلة $r.\vec{\mathbf{v}}_m = \mathbf{v}_m.\vec{\mathbf{r}}$ هي: $\mathbf{M}(t) = \left(x(t),y(t)\right)$ بعنى:

$$[(x_t - x)^2 + (y_t - y)^2]^{\frac{1}{2}} \frac{d}{dt} {x \brack y} = v_m {x_t - x \brack y_t - y}$$
(4)

بعبارة أخرى هذا النظام عبارة جملة معادلتين تفاضليتين غير خطيتين يمكن كتابتهما على النحو الاتى:

$$\frac{dx}{dt} = \frac{\mathbf{v}_m(x_t - x)}{r}; \qquad \frac{dy}{dt} = \frac{\mathbf{v}_m(y_t - y)}{r} \tag{5}$$

حيث $r=[(x_t-x)^2+(y_t-y)^2]^{1/2}$ حيث y=f(x) عبارة تحليلية مغلقة y=f(x) لحركة المتتبع y=f(x) ثم لاحظ أنه إذا فرضنا أن y=f(x) فإن:

$$\frac{dy}{dx} = \frac{y_t - y}{x_t - x}; \quad \frac{dx}{dt} = \frac{v_m}{[1 + (dy/dx)^2]^{1/2}}$$
(6)

$$rac{dy_t}{dx} = rac{dy_t}{dt} rac{dt}{dx} = rac{\mathrm{v}_t}{\mathrm{v}_m} \left[1 + \left(rac{dy}{dx}
ight)^2 \right]^{rac{1}{2}}$$
مع العلم أنّ

بضرب طرفي المعادلة $(y_t-y)/(x_t-x)$ في المقدار (x_t-x) وأخذ المشتقة الأولى بالنسبة للمتغير (x_t-x)

¹³ https://shs.cairn.info/revue-d-histoire-des-sciences-2010-1-page-

¹⁴ https://www.universalis.fr/encyclopedie/george-boole/

¹¹ Pure Pursuit

¹² Radiodrome

هذه الحلول جيدة للغاية كونها دقيقة و مضبوطة، لكن يصعب عمليا الحصول على الحل التحليلي بشكله المغلق كلما كانت حركة الهدف أكثر مناورة و عشوائية. لتفادي مثل هذه المشاكل يجب علينا أن نستعين بالحواسيب الرقمية بدلا من الطرق الجبرية. عليه نقترح استعمال برنامج الماتلاب لحل نظام المعادلات عدديًا باستخدام طريقة أويلر 15 أو رونج كوتا16 حسب الاحتياج:

$$\frac{dy}{dx} = \frac{y_t - y}{x_t - x} \iff y_t - y = (x_t - x)\frac{dy}{dx}$$

$$\iff \frac{d}{dx}(y_t - y) = (x_t - x)\frac{d^2y}{dx^2} + \frac{dy}{dx}\frac{d}{dx}(x_t - x)$$

$$\iff \frac{v_t}{v_m} \left[1 + \left(\frac{dy}{dx}\right)^2 \right]^{1/2} - \frac{dy}{dx} = (x_t - x)\frac{d^2y}{dx^2} - \frac{dy}{dx}$$

وفقا لما سبق، نحصل على المعادلة التفاضلية الغير خطية من الدرجة الثانية التالية:

$$\left\{ \left(\frac{\mathbf{v}_m}{\mathbf{v}_t}\right) [x_t - x] \right\}^2 \left(\frac{d^2 y}{dx^2}\right)^2 = 1 + \left(\frac{dy}{dx}\right)^2 \tag{7}$$

التي يمكن أن تكتب على النحو التالي:

$$[x_t - x] \frac{d^2 y}{dx^2} = \frac{v_t}{v_m} \left[1 + \left(\frac{dy}{dx} \right)^2 \right]^{1/2}$$
 (8)

نضع $k = V_t/V_m$ فيكون من العلاقة السابقة:

$$\frac{d^2y}{dx^2} = \frac{k\sqrt{1 + (dy/dx)^2}}{(x_t - x)} \tag{9}$$

بتكامل أطراف المعادلة مرة واحدة نحصل على

$$\frac{dy}{dx} = \sinh[B - k \ln(x_t - x)]$$

$$= \frac{1}{2}e^B(x_t - x)^{-k} - \frac{1}{2}e^{-B}(x_t - x)^k$$

حيث B هو ثابت التكامل الذي تحدده الشروط الابتدائية لـ dy/dx في اللحظة صفر .

بعد أن نكر ر تكامل المعادلة الحاصلة مرة أخرى نحصل على الحلول الاتية:

• If $k \neq 1$ ($v_t \neq v_m$) then

$$y = \frac{1}{2} \left[\frac{e^{-B} (x_t - x)^{1+k}}{1+k} - \frac{e^{B} (x_t - x)^{1-k}}{1-k} \right] + C$$
 (10)

• If k = 1 or $v_t = v_m$ then

$$y = \frac{1}{2} \left\{ \frac{e^{-B}}{2} (x_t - x)^2 - e^B \ln(x_t - x) \right\} + C$$
 (11)

https://www.cfm.brown.edu/people/dobrush/am33/Mathematica/ch3/RK.html

¹⁵ Euler Method: https://github.com/mattzh72/Eulers-Method-Visualizer

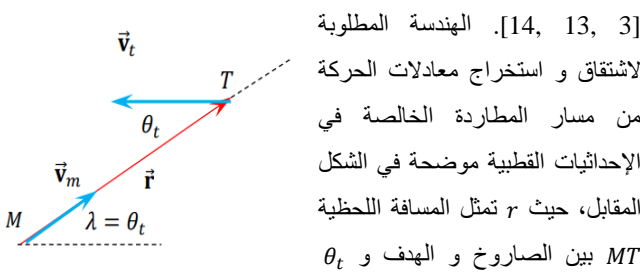
¹⁶ Runge-Kutta:

يمكن إثبات أن المعادلة التفاضلية للمسار في الإحداثيات الكروية (θ على خط الطول، ϕ على خط الشاقول)، عندما يتحرك الهدف على خط الاستواء هي:

$$\frac{d^{2}\theta}{d\phi^{2}} = k \left(\frac{1}{c_{\phi} s_{\phi}} + \left(\frac{d\theta}{d\phi} \right)^{2} c_{\phi} s_{\phi} \right) \left[1 + \left(\frac{d\theta}{d\phi} s_{\phi} \right)^{2} \right]^{1/2} - \left(\frac{d\theta}{d\phi} \right)^{2} c_{\phi} s_{\phi} - 2 \frac{d\theta}{d\phi} \left\{ \frac{c_{\phi}}{s_{\phi}} \right\} \tag{14}$$

 $s_{\phi} = \sin \phi$ و $c_{\phi} = \cos \phi$

مرة أخرى، مسار المطاردة الخالص هو مسار يتم فيه توجيه شعاع سرعة الصاروخ دائمًا نحو موقع الهدف اللحظى. عند استخلاص معادلات الحركة يتم وضع الافتراضات التالية: يتبع الهدف مسارًا مستقيمًا و لا يناور، سرعة الصاروخ و الهدف ثابتة، و نظام الإحداثيات ثنائي الأبعاد



الزاوية بين متجه السرعة المستهدفة و خط الرؤية. بالنسبة لهدف مدبَّر، يتم الحصول على معادلات الحركة بأخذ المركبتين المسقطة و الناظمية على

$$r\dot{\theta}_t = -\mathbf{v}_t \sin(\theta_t)$$
 $\dot{r} = \mathbf{v}_t \cos(\theta_t) - \mathbf{v}_m$

 $p = v_m/v_t$ و $\dot{r}/r = [p \csc(\theta_t) - \cot(\theta_t)]\dot{\theta}_t$ و باستعمال المعادلات يمكن بعد المكاملة المباشرة الحصول على الحل التالى:

$$r = A \frac{(\sin(\theta_t))^{p-1}}{(1 + \cos(\theta_t))^p}; \ A = r_0 \frac{(1 + \cos(\theta_0))^p}{(\sin(\theta_0))^{p-1}}; \ p = \frac{v_m}{v_t}$$

The initial values r_0 and θ_0 .

بالنسبة لهدف مقبل باتجاه حركة المطارد، فإن حركة كل منهما تعمل على تقليل r طالما أن θ_t حادة. و عندنا هنا θ_t رتيبة و متزايدة و بالتالي معادلات الحركة هي:

$$\dot{r}=-\mathrm{v}_t\cos(\theta_t)-\mathrm{v}_m$$
 و $r\dot{\theta}_t=\mathrm{v}_t\sin(\theta_t)$ $p=\mathrm{v}_m/\mathrm{v}_t$ چيٽ $\dot{r}/r=-[p\csc(\theta_t)+\cot(\theta_t)]\dot{\theta}_t$ پذن،

clear all, clc, figure, hold on,

Vm=3.5; % The missile initial speed Vt1=3; Vt2=1; % The target initial speed dt=0.005; t=0; % Step size & initial time M=[1.5;-8]; % Missile initial position x0=1; y0=-10; % Target initial position e = 1; T1 = []; T2 = []; X = []; Y = [];while e>0.01

xt=x0 + Vt1*t; yt=y0 + Vt2*t;

x=M(1); y=M(2); % T and M positions

dRm = pursuers(Vm,xt,yt,x,y);

 $e = \operatorname{sqrt}((xt-x)^2 + (yt-y)^2);$

M = M + dt*dRm; % Euler Method

T1 = [T1,xt]; T2 = [T2,yt];

X = [X,x]; Y = [Y,y]; t = t+dt;

plot(X,Y,'b','LineWidth',1.5), grid on, plot(T1,T2,'r','LineWidth',1.5)

function dRm=pursuers(Vm,xt,yt,x,y)

 $D = sqrt((xt-x)^2 + (yt-y)^2);$

Dx = Vm*(xt-x)/D; dy = Vm*(yt-y)/D;

dRm = [dx; dy];

end

O = (0,0) بالنسبة لهدف يتحرك على حافة دائرة مركزها ونصف قطر ها R، نحصل على النظام التفاضلي التالي:

$$\begin{cases} \frac{dx}{dt} = \frac{\mathbf{v}_m[R\cos(t) - x]}{[(R\cos(t) - x)^2 + (R\sin(t) - y)^2]^{\frac{1}{2}}} \\ \frac{dy}{dt} = \frac{\mathbf{v}_m[R\sin(t) - y]}{[(R\cos(t) - x)^2 + (R\sin(t) - y)^2]^{1/2}} \end{cases}$$
(12)

من وجهة نظر تحليلية، إذا كان الهدف يتحرك على طول المسار ($R\cos(t)$, $R\sin(t)$) فإن معادلات الحركة للمتتبع الذي يمر ب (0,0) هي:

$$\begin{cases} x = \frac{kR}{1+k^2} [k\cos(t) + \sin(t) - ke^{-kt}] \\ y = \frac{kR}{1+k^2} [k\sin(t) - \cos(t) + ke^{-kt}] \end{cases}$$
 (13)

مسار المطارد عبارة عن دائرة مركزها 0 ونصف قطرها معطى بالعبارة نظرًا لكون الحركة متسامية، فإن سرعته تصل إلى $d = kR/(1+k^2)$ d وتؤول المسافة بين المطارد وبين الهدف إلى Vd/R

 $\delta(t) = \alpha$ (صورة 7).

Algorithm: (2)

 $\vec{\mathbf{r}}_t(1)$, $\vec{\mathbf{r}}_m(1)$, and $\mathbf{v}_m(1)$

While e>tolerance

End while

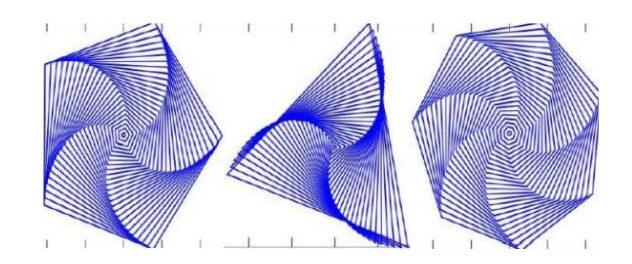
Initiation: $a_m = \text{Const}, \ \vec{\mathbf{v}}_t(k) = \vec{\mathbf{f}}(k),$

و الحل بالتكامل المباشر هو:

$$r = A \frac{(1 + \cos(\theta_t))^p}{(\sin(\theta_t))^{p+1}}; \qquad A = r_0 \frac{(\sin(\theta_0))^{p+1}}{(1 + \cos(\theta_0))^p}$$

Initial values r_0 and θ_0

ملاحظة: غالبًا ما يرسم المنحنى الذي يحتوي على العديد من الملاحقين والمعروف بـ mice problem صورا جميلة (صورة 6). يبدأ جميع المطاردين من زاوية مضلع منتظم، و يتبع كل منهم النقطة في اتجاه عقارب الساعة أو عكسها (يجب أن يكون الاتجاه موحدًا لجميع النقاط). عادةً ما تتبع النقاط النقطة المجاورة لها مباشرة، و يمكنها متابعة النقاط الأبعد. تلتقي جميع النقاط في النهاية في وسط المضلع [15, 12, 10]



صورة 6: صور توضيحية لمسالة مايك والمطاردة الخالصة للعديد من الأهداف والمطاردين

$\mathbf{u}_{\text{LOS}} = \mathbf{r}(t)/r(t)$ \mathbf{v}_{t} θ_{t}

يقوم المعترض بتوجيه سرعته بزاوية قيادة غير صفرية α تتقدم خط البصر بانحراف ثابت، مما ينتج عنه مسار مطاردة منحرف و معرف بـ

 $\vec{\mathbf{r}}(k) = \vec{\mathbf{r}}_m(k) - \vec{\mathbf{r}}_t(k)$

 $\vec{\mathbf{r}}_t(k+1) = \vec{\mathbf{r}}_t(k) + \vec{\mathbf{v}}_t.dt$

 $\vec{\mathbf{v}}_m(k) = \mathbf{v}_m(k) \left\{ \frac{\vec{\mathbf{r}}}{\|\vec{\mathbf{r}}\|} + \vec{\mathbf{d}} \right\}$

 $\vec{\mathbf{r}}_m(k+1) = \vec{\mathbf{r}}_m(k) + \vec{\mathbf{v}}_m \cdot dt$ $\mathbf{v}_m(k+1) = \mathbf{v}_m(k) + \mathbf{a}_m \cdot dt$

 $e = \|\vec{\mathbf{r}}(k)\|$ **Update** k = k + 1

 $\vec{\mathbf{v}}_t(k) = \left[\mathbf{v}_{tx}(k); \, \mathbf{v}_{ty}(k); \, \mathbf{v}_{tz}(k) \right]$

 $\vec{\mathbf{v}}_m$ δ $\delta(t) = \alpha$

صورة 7: تمثيل بياني يوضح هندسة المطاردة المنحرفة 18

استنادا إلى الرسم البياني أعلاه نكتب:

$$\dot{r}(t) = \mathbf{v}_t(t)\cos(\theta_t) - \mathbf{v}_m(t)\cos(\delta)$$

$$\dot{\lambda}(t) = [\mathbf{v}_t(t)\sin(\theta_t) - \mathbf{v}_m(t)\sin(\delta)]/r(t)$$

هاتين المعادلتين تكافئان معادلة واحدة

$$\mathbf{v}_m(t) = \mathbf{v}_m(t)[\mathbf{r}(t)/r(t)] + \mathbf{v}_m(t)\mathbf{d}$$
(15)

و لكن فقط في الفضاء ثنائي الأبعاد. في حالة الهدف المتحرك أفقيًا لدينا $\dot{\theta}_{r}(t) = -\dot{\theta}_{r}(t)$

Algorithm: (1)

Initiation: $a_m = \text{Const}, \ \vec{\mathbf{v}}_t(k) = \vec{\mathbf{f}}(k),$ $\vec{\mathbf{r}}_t(1), \vec{\mathbf{r}}_m(1), \text{ and } \mathbf{v}_m(1)$

While e>tolerance

$$\begin{split} \vec{\mathbf{r}}(k) &= \vec{\mathbf{r}}_m(k) - \vec{\mathbf{r}}_t(k) \\ \vec{\mathbf{v}}_t(k) &= \left[\mathbf{v}_{tx}(k); \, \mathbf{v}_{ty}(k); \, \mathbf{v}_{tz}(k) \right] \\ \vec{\mathbf{r}}_t(k+1) &= \vec{\mathbf{r}}_t(k) + \vec{\mathbf{v}}_t. \, dt \\ \vec{\mathbf{v}}_m(k) &= \mathbf{v}_m(k)(\vec{\mathbf{r}}/||\vec{\mathbf{r}}||) \\ \vec{\mathbf{r}}_m(k+1) &= \vec{\mathbf{r}}_m(k) + \vec{\mathbf{v}}_m. \, dt \\ \mathbf{v}_m(k+1) &= \mathbf{v}_m(k) + \mathbf{a}_m. \, dt \\ e &= ||\vec{\mathbf{r}}(k)|| \\ \mathbf{Update} \qquad k = k+1 \end{split}$$

End while

3.2. المطاردة المنحرفة¹⁷

¹⁸ Deviated Pursuit

¹⁷ Deviated Pursuit

$$\begin{split} r(k+1) &= r(k) + [\Delta r] dt \\ \theta_t(k+1) &= \theta_t(k) - [\Delta \theta_t] dt \\ \Delta r &= [\mathbf{v}_t \cos(\theta_t) - \mathbf{v}_m \cos(\delta)] \\ \Delta \theta_t &= \left[\left(\mathbf{v}_t / r(t) \right) \sin(\theta_t) - \left(\mathbf{v}_m / r(t) \right) \sin(\delta) \right] \end{split}$$

Algorithm: (3)

Initiation: $\delta = \text{Const}, \ e = \text{Const}, \ k = 1$ $x_t(1), y_t(1) \| \vec{\mathbf{r}}(1) \|, \theta_t(1), v_m \text{ and } v_t$

While e>tolerance

$$\begin{vmatrix} x_t(k+1) = x_t(k) - \mathbf{v}_t . dt \\ y_t(k+1) = y_t(k) \\ r(k+1) = r(k) + (\mathbf{v}_t \cos(\theta_t) - \mathbf{v}_m \cos(\delta)) dt \\ x(k) = x_t(k) - r(k) . \cos(\theta_t) \\ y(k) = y_t(k) - r(k) . \sin(\theta_t) \\ \Delta \theta_t = [\mathbf{v}_t \sin(\theta_t) - \mathbf{v}_m \sin(\delta)] / r(t) \\ \theta_t(k+1) = \theta_t(k) - [\Delta \theta_t] dt; \quad e = \|\vec{\mathbf{r}}(k)\| \\ \mathbf{Update} \quad k = k+1 \end{aligned}$$

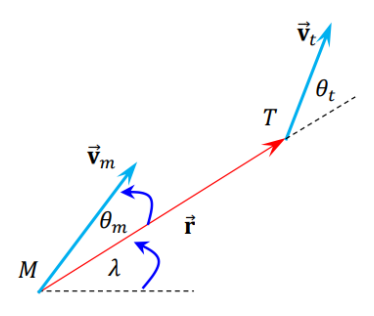
End while

لكي نغوص في صلب هذا الموضوع، دعنا نعرف المقادير التالية سرعة الصاروخ، $\mathbf{v}_t = \mathbf{v}_t = \mathbf{v}_m = \mathbf{v}_m$ سرعة الهدف، و $\|\mathbf{r}_t\| = \mathbf{v}_m$ $(\omega=0)$ أو $\dot{\lambda}(t)=0$ قاعدة الملاحة المتوازية تعطى بالعلاقة التالية حيث ٨ هي زاوية خط الإبصار مع بعض الخطوط المرجعية. وفقًا لهذه القاعدة، يظل اتجاه "LOS" ثابتًا بالنسبة لمعلم القصور الذاتي [يتم الحفاظ على توازي أي LOS جديد مع LOS الأولى]. في الهندسة المتجهة ثلاثية الأبعاد، تُعطى قاعدة الملاحة الموازية بالصيغة $\overrightarrow{w}=\overline{\omega}$ حيث $\overline{\omega}$ هو شعاع $ec{\mathbf{v}}_{tm}=ec{\mathbf{v}}_{tm}$ معدل دوران خط الإبصار $ec{\mathbf{r}}_{t}-ec{\mathbf{r}}_{t}-ec{\mathbf{r}}_{m}$ المالية $\vec{\omega} = \vec{\mathbf{v}}_{c} = -\vec{\mathbf{v}}_{tm} = \vec{\mathbf{r}} \times \vec{\boldsymbol{\omega}}$ و $d\vec{\mathbf{r}}/dt = \vec{\mathbf{v}}_{t} - \vec{\mathbf{v}}_{m} = \vec{\boldsymbol{\omega}} \times \vec{\mathbf{r}}$ $\vec{r} \times \vec{v}_c = \vec{r} \times (\vec{r} \times \vec{\omega}) = r^2 \vec{\omega} = \vec{0}$ $\dot{\vec{v}}$ $\vec{0} \iff \vec{r} \times \vec{v}_c = \vec{0}$ فهندسة المتجهات تعطينا المعادلات التفاضلية التالية:

$$\begin{cases}
\frac{dr}{dt} = v_t(t)\cos(\theta_t) - v_m(t)\cos(\theta_m) \\
r\frac{d\lambda}{dt} = [v_t(t)\sin(\theta_t) - v_m(t)\sin(\theta_m)] = 0
\end{cases}$$
(16)

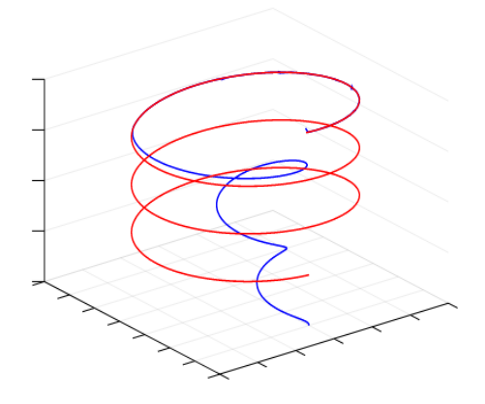
كما تشير قاعدة الملاحة الموازية إلى ما يلي

 $\dot{\lambda}(t) = 0 \Rightarrow \omega(t) = 0 \Rightarrow v_t(t)\sin(\theta_t) = v_m(t)\sin(\theta_m)$ $\theta_t = a\sin\left(\frac{\mathbf{v}_m}{\mathbf{v}_t}\sin(\theta_m)\right)$ The collision triangle rule



صورة 9: تمثيل بياني يوضح هندسة المطاردة الموازية²¹

تعود نظرية الاصطدام إلى فكرة البحارة القديمة التي تتنبأ بالاصطدام بالسفن الأخرى و هي "التوجيه الثابت، المسافة المتناقصة". يتم تعريف مثلث الاصطدام على أنه المثلث الذي يتكون من المواقع الأولية للصاروخ، الهدف، و نقطة الاعتراض حيث يضرب الصاروخ الهدف عندما يطير في خط مستقيم [17].



صورة 8: محاكاة ثلاثية الأبعاد تبين فعالية المطاردة المنحرفة19

3.3. الملاحة المتوازية²⁰

يتبع الصاروخ مسار الاتجاه الثابت عندما يحافظ خط البصر "LOS" على اتجاه ثابت في الفضاء، أي "ثابت = χ ". وغالبا ما يشار إلى مسار هذا النوع من الملاحة باسم المسار تصادمي و بما أن الاصطدام هو النتيجة النهائية، فبات من الواضح أن سرعة الصاروخ يجب أن تكون أكبر من سرعة الهدف. هذا النوع من الملاحة قديم جدا و تم اكتشافه من طرف البحرية الأمريكية في الأربعينيات [16].

²¹ Parallel Pursuit

¹⁹ Deviated Pursuit

²⁰ Parallel Nav or Constant Bearing

وبالتالي فـــانه
$$a_n={
m v}_m\omega_m={
m v}_m(d heta_m/dt)$$
 ثم لاحظ أن ${
m v}_t\sin(heta_t)={
m v}_m\sin(heta_m)$

$$\mathbf{v}_m^2[1-\cos^2(\theta_m)] = \mathbf{v}_t^2\sin^2(\theta_t)$$

وعليه

$$a_n = v_m \frac{d\theta_m}{dt} = \frac{dv_t}{dt} \frac{\sin(\theta_t)}{\cos(\theta_m)} = \frac{k(dv_t/dt)\sin(\theta_t)}{\sqrt{k^2 - \sin^2(\theta_t)}}$$
(20)

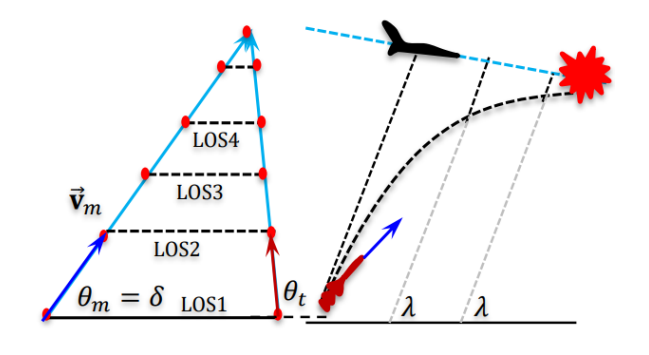
$$k = v_m/v_t$$
; $\cos(\theta_m) = k/\sqrt{k^2 - \sin^2(\theta_t)}$ حيث

يمكن الحصول على صيغة بديلة إذا استخدمنا

$$\tan(\theta_m) = \sin(\theta_t) / \sqrt{k^2 - \sin^2(\theta_t)}$$

$$a_n = v_m(d\theta_m/dt) \iff$$

$$a_n = k \frac{dv_t}{dt} \frac{\sin(\theta_t)}{\sqrt{k^2 - \sin^2(\theta_t)}} = k \frac{dv_t}{dt} \tan(\theta_m)$$
 (21)

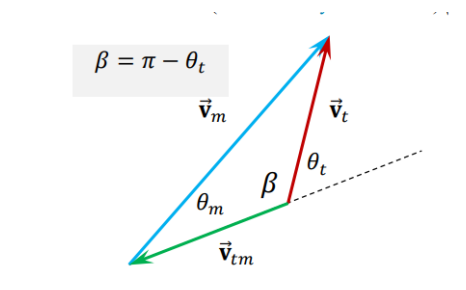


صورة 10: مقاربة بيانية توضح هندسة المطاردة الموازية

3.4. الملاحة التناسبية²²

يتحرك الصاروخ بطريقة يتناسب فيها معدل دورانه مع معدل دوران خط الإبصار الممتد من الصاروخ إلى الهدف و يبقى هذا التناسب ثابتا في أي لحظة من الزمن $\dot{\gamma}(t)=N\dot{\lambda}(t)$. إذا كان معدل دوران الصاروخ يساوي معدل دوران خط البصر، يصبح مسار الرحلة مسار مطاردة.

بشكل عام، في الملاحة التناسبية، يكون معدل دوران الصاروخ مضاعفًا ثابثًا لمعدل LOS ، و تكون المسارات أقل انحناءً من مسارات المطاردة، و لكنها أكثر انحناءً من مسارات الاصطدام [18] .في معظم الصواريخ الحديثة تستخدم أنظمة التوجيه قانون توجيه يسمى بالملاحة



انون الجيب يعطى

$$\frac{\mathbf{v}_m}{\sin(\beta)} = \frac{\mathbf{v}_m}{\sin(\pi - \theta_t)} = \frac{\mathbf{v}_m}{\sin(\theta_t)} = \frac{\mathbf{v}_t}{\sin(\theta_m)} \tag{17}$$

يعنى أن مثلث الاصطدام ينتج المعادلة التالية

$$\theta_m = \sin^{-1} \left(\frac{\mathbf{v}_t}{\mathbf{v}_m} \sin(\theta_t) \right) \text{ or } \theta_t = \sin^{-1} \left(\frac{\mathbf{v}_m}{\mathbf{v}_t} \sin(\theta_m) \right)$$

الشرط الأول لمثلث التصادم هو أن تكون الزاوية χ ثابتة، و هذا هو نفسه القول إن معدل التغيير في LOS صفرا. أما الشرط الثاني لمثلث التصادم فهو أن تتناقص المسافة $\vec{\mathbf{r}}=\vec{\mathbf{r}}_t-\vec{\mathbf{r}}_m$ مع مرور الزمن.

يمكن التعبير عن هذين الشرطين رياضيا بالعبارة الأثنية، r < 0 و λ

$$\begin{cases} \theta_t = \sin^{-1}\left(\frac{\mathbf{v}_m}{\mathbf{v}_t}\sin(\theta_m)\right) \\ \mathbf{v}_t(t)\cos(\theta_t) - \mathbf{v}_m(t)\cos(\theta_m) < 0 \end{cases}$$
 (18)

إذا افترضنا أن $\|\vec{\mathbf{v}}_t\| = \|\vec{\mathbf{v}}_t\|$ متغير و أن θ_t ثابت فلدينا

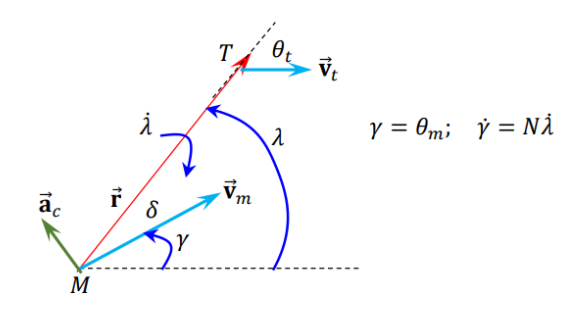
$$\mathbf{v}_t(t)\sin(\theta_t) = \mathbf{v}_m\sin(\theta_m)$$
ي

$$\frac{d\mathbf{v}_t}{dt}\sin(\theta_t) = \mathbf{v}_m \frac{d\theta_m}{dt}\cos(\theta_m) \iff \mathbf{v}_m \frac{d\theta_m}{dt} = \frac{d\mathbf{v}_t}{dt} \frac{\sin(\theta_t)}{\cos(\theta_m)}$$
(19)

مع العلم أن طويلة شعاع التسارع الناظمي للصاروخ a_n يعطى بالعلاقة التالـــــية $a_n = {
m v}_m(d heta_m/dt)$

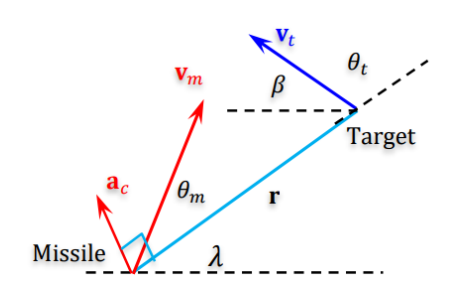
$$\vec{\mathbf{a}}_n = (\mathbf{v}_m^2/r)\vec{\mathbf{n}} = \mathbf{v}_m(\mathbf{v}_m/r)\vec{\mathbf{n}} = (\mathbf{v}_m\omega_m)\vec{\mathbf{n}}$$

²² Proportional Navigation



صورة 12: تمثيل بياني يوضح هندسة المطاردة التناسبية

من الناحية النظرية: قانون توجيه الملاحة التناسبي، يصدر أوامرا مفادها حمل الصاروخ على السير بتسارع لحظى عمودي على خطرؤية هدف الصاروخ، ويتناسب مع معدل خط البصر وسرعة الاقتراب. في الصواريخ التكتيكية الموجهة بالرادار التي تستخدم التوجيه الملاحي المتناسب، يوفر جهاز التحسس قياسًا فعالًا لمعدل خط البصر، ويوفر رادار دوبلر معلومات سرعة الاقتراب. في تطبيقات الصواريخ التكتيكية الموجهة بالأشعة تحت الحمراء، فإنه يتم قياس معدل خط البصر، في حين أن سرعة الاقتراب، التي يتطلبها قانون التوجيه، تكون "تخمينية" [19]. يتم تعريف طويلة سرعة الاقتراب ٧ على أنها المعدل السلبي للتغير في المسافة من الصاروخ إلى الهدف، بعبارة رياضية $v_c = -d \|\vec{r}\|/dt$ عندما يكون الصاروخ والهدف في أقرب مسافة، تتغير إشارة سرعة الاقتراب. بمعنى آخر، من حساب التفاضل و التكامل، نعلم أن سرعة الاقتراب تكون صفرًا عندما تكون $\| \vec{\mathbf{r}} \| = r$ قيمة دنيا (أي أن الدالة تكون إما الحد الأدنى أو الأقصى عندما تكون مشتقتها صفرًا). و التسارع الناظمي المطلوب \vec{a}_c المستخرج من قانون توجيه الملاحة التناسبي، يكون متعامدًا مع خط الرؤية اللحظى [8].



في نموذج التتبع ثنائي البعد، يمكن للهدف المناورة بشكل مراوغ وبتسارع ناظمي \vec{a}_i ، ونظرًا لكون تسارع الهدف \vec{a}_i متعامد مع متجه $\pi - (\theta_t + \lambda) = \beta$ سرعته، فإنه يمكن التعبير عن سرعته الزاوية ب

$$\beta(t) = (a_t/v_t)t \iff \beta(t) = \beta(t - \Delta t) + (a_t/v_t)\Delta t$$

التناسبية و يرمز له بـ PN، حيث يتم التحكم في الدوران بمعدل γ يتناسب مع معدل دوران خط البصر (أي، السرعة الزاوية ألم لخط البصر)، و يكون و في ميدان ملاحة الصواريخ يُطلق على $\gamma(t)=N\dot{\lambda}(t)$ الملاحة و يقع في المجال بين 3 و 5 (لاحظ أن PN يشير على وجه التحديد إلى قانون التوجيه $\dot{\gamma}(t)=N\dot{\lambda}(t)$ و يختلف عن التحكم التناسبي). بشكل LOS أساسي، يقوم PN بتدوير اتجاه الصاروخ بمعدل يتناسب مع معدل إذا كان PN يعمل بشكل مثالى، فيجب أن يتقارب معدل LOS و يبقى عند الصفر حتى يتم الاعتراض. يخبرنا علم الحركة أن التسارع المطلوب هو .[7] $a_c = N v_c \dot{\lambda}(t)$



صورة 11: فوتوغرافيك يوضح منحنى المطاردة التناسبية

التفسير: في الميكانيكا، يتم تحديد التسارع الناطمي بواسطة العلاقة $|\vec{u}.\vec{a}_n = (v^2/r)\vec{n} = v\omega\vec{n} \implies a_n = v(d\theta/dt)$

$$a_c = v_c \frac{d\theta_m}{dt} = v_c \frac{d\gamma}{dt} = Nv_c \frac{d\lambda}{dt}$$
; simply $a_c = Nv_c \dot{\lambda}(t)$

حيث ٧ تدعى سرعة الاقتراب وعلى الشكل الشعاعي لدينا

$$ec{\mathbf{a}}_c = N \overrightarrow{\boldsymbol{\omega}} imes \vec{\mathbf{v}}_c$$
 and $\overrightarrow{\boldsymbol{\omega}} = \vec{\mathbf{r}} imes \vec{\mathbf{v}}_c/(\vec{\mathbf{r}}.\vec{\mathbf{r}}) = \vec{\mathbf{r}} imes \vec{\mathbf{v}}_c/\|\vec{\mathbf{r}}\|^2$ وأخيرا

$$\vec{\mathbf{a}}_c = -N\vec{\mathbf{v}}_c \times \vec{\boldsymbol{\omega}}$$
 j $\vec{\mathbf{a}}_c = N(\vec{\mathbf{r}} \times \vec{\mathbf{v}}_c) \times \vec{\mathbf{v}}_c / ||\vec{\mathbf{r}}||^2$

 $\mathbf{v}_t(t)$ هو طويلة شعاع سرعة الهدف. يمكن العثور على مركبات \mathbf{v}_t في نظام الإحداثيات القصور الذاتي من خلال تكامل المعادلة التفاضلية المقدمة سابقًا و الحصول على الزاوية $\mathbf{\beta}(t)$ ثمّ التعويض في $\mathbf{v}_t(t) = -\mathbf{v}_t \cos \mathbf{\beta}(t)$; $\mathbf{v}_t(t) = \mathbf{v}_t \sin \mathbf{\beta}(t)$ مركبات تسارع الصاروخ $\mathbf{a}_m(t)$ فإنه يجب علينا أولاً العثور على مركبات الفرق النسبى بين الصاروخ و الهدف. أولا لدينا:

$$\mathbf{r}(t) = \mathbf{r}_t(t) - \mathbf{r}_m(t) = \begin{bmatrix} r_x & r_y \end{bmatrix}^T$$

يمكننا أن نرى من الشكل أعلاه أنه يمكن العثور على زاوية خط البصر بدلالة مركبات الفرق النسبي $\lambda = tan^{-1}(r_y/r_x)$ أما عن مركبات السرعة النسبية في إحداثيات القصور الذاتي فإنها:

$$\mathbf{v}_{tm}(t) = \mathbf{v}_t(t) - \mathbf{v}_m(t) = [\mathbf{v}_{tmx} \quad \mathbf{v}_{tmy}]^T$$

يمكننا الآن حساب معدل دوران خط البصر عن طريق الاشتقاق المباشر لـ الزاوية χ . يتم التعبير عن معدل دوران خط البصر χ بواسطة

$$\frac{d\lambda}{dt} = \frac{1}{r^2} \left(r_x \mathbf{v}_{tmy} - r_y \mathbf{v}_{tmx} \right)$$

و ذلك باستعمال العلاقتين التاليتين

$$\frac{d}{dt}\tan^{-1}(u(t)) = \frac{du/dt}{1+u^2} \& r^2 = r_x^2 + r_y^2$$

بــما أن سرعة الاقتراب تم تعريفها على أنها المعدل السلبي للتغير في المسافة الفاصلة بين الصاروخ والهدف أي $v_c = -d \|\vec{\mathbf{r}}\|/dt$ فيمكن المحصول عليها عن طريق اشتقاق المعادلة السابقة، مما ينتج عنه

$$\mathbf{v}_{c} = -\frac{dr}{dt} = -\frac{d}{dt} \left(\sqrt{r_{x}^{2} + r_{y}^{2}} \right) = -\frac{1}{r} \left(r_{x} \mathbf{v}_{tmx} + r_{y} \mathbf{v}_{tmy} \right)$$

وأخيرا نخلص إلى

$$\begin{cases}
v_c = -\frac{dr}{dt} = -\frac{1}{r} \left(r_x v_{tmx} + r_y v_{tmy} \right) \\
\frac{d\lambda}{dt} = \frac{1}{r^2} \left(r_x v_{tmy} - r_y v_{tmx} \right)
\end{cases}$$
(22)

بعد هذا كله يمكننا العثور على طويلة شعاع تسارع الصاروخ المطلوب \vec{a}_c من تعريف الملاحة التناسبية، $a_c=Nv_c\lambda$. و نظرًا لكون \vec{a}_c متعامد مع خط الرؤية اللحظي، فيمكن العثور على مكونات تسارع الصاروخ في إحداثيات الأرض $a_m=a_c\mathbf{u}_c=a_c[-\sin\lambda \quad \cos\lambda]^T$ وفي الأخير نلخص خوار زمية هذه الملاحة

Algorithm: (4)

$$\mathbf{r} = \mathbf{r}_t - \mathbf{r}_m \text{ and } \mathbf{v}_{tm} = \mathbf{v}_t - \mathbf{v}_m$$

$$\mathbf{v}_c = -(r_x \mathbf{v}_{tmx} + r_y \mathbf{v}_{tmy})/r$$

$$\lambda = \tan^{-1}(r_y/r_x)$$

$$\frac{d\lambda}{dt} = \frac{1}{r^2}(r_x \mathbf{v}_{tmy} - r_y \mathbf{v}_{tmx})$$

$$\mathbf{a}_c = N \mathbf{v}_c (d\lambda/dt)$$

$$\mathbf{a}_m = \mathbf{a}_c \mathbf{u}_c \text{ with } \mathbf{u}_c = \begin{bmatrix} -\sin \lambda \\ \cos \lambda \end{bmatrix}$$

$$\mathbf{v}_t = \mathbf{v}_t \mathbf{u}_t \text{ with } \mathbf{u}_t = \begin{bmatrix} -\cos \beta \\ \sin \beta \end{bmatrix}$$

$$d\beta/dt = \mathbf{a}_{nt}/\mathbf{v}_t$$

Updates by Euler method

$$\beta(k+1) = \beta(k) + \left(\frac{a_{nt}}{v_t}\right) \cdot dt$$

$$\mathbf{r}_t(k+1) = \mathbf{r}_t(k) + \mathbf{v}_t \cdot dt$$

$$\mathbf{r}_m(k+1) = \mathbf{r}_m(k) + \mathbf{v}_m \cdot dt$$

$$\mathbf{v}_m(k+1) = \mathbf{v}_m(k) + \mathbf{a}_m \cdot dt$$

ملاحظة:

إذا لم يكن هناك ،تقارب نستخدم طريقة تحديث أخرى مثل طريقة Runge- Kutta من الدرجة 2 أو حتى طريقة Runge- Kutta من الدرجة الرابعة

من الناحية التطبيقية، فالصاروخ الذي مقدار سرعته \mathbf{v}_m ، يتجه بزاوية $\theta_{\mathrm{Lead}} + \theta_{\mathrm{He}} + \theta_{\mathrm{He}}$ بالنسبة إلى خط الرؤية. تُعرف الزاوية ويقدم الساروخ، هذه الزاوية هي الزاوية الصحيحة نظرياً لتواجد الصاروخ على مثلث الاصطدام, معنى آخر، إذا كان الصاروخ في مثلث الاصطدام، فلن تكون هناك حاجة إلى المزيد من أو امر التسارع حتى يصل الصاروخ إلى الهدف.الزاوية θ_{He} تعرف ب زاوية الخطأ الرأسية، تمثل هذه الزاوية الانحراف الأولي للصاروخ عن مثلث الاصطدام. الزاوية الأولية لشعاع سرعة الصاروخ بالنسبة إلى خط الرؤية تُعرف بزاوية تقدم الصاروخ مي مكن الحصول على زاوية التقدم النظرية للصاروخ المصاروخ الميق قانون الجيب: θ_{Lead}

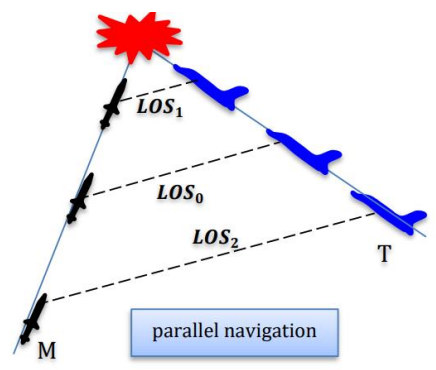
$$\theta_{\text{Lead}} = \sin^{-1}((v_t/v_m)\sin(\beta + \lambda))$$

من الناحية العملية أيضا، أنه لا يتم إطلاق الصاروخ بالضبط على مثلث الاصطدام، حيث أن نقطة الاعتراض المتوقعة غير معروفة بدقة. لا يمكن تقريب موقع نقطة التقاطع لأننا لا نعرف مسبقًا ما الذي سيفعله الهدف في المستقبل في الواقع، هذا هو سبب الحاجة إلى نظام توجيه و بالتالي يمكن التعبير عن مركبات السرعة الأولية للصاروخ بدلالة زاوية التقدم $\theta_{\rm Lead}$ و خطأ الاتجاه الفعلي $\theta_{\rm Head}$ بـ:

$$\mathbf{v}_{mx}(0) = \mathbf{v}_m \cos \theta$$
; $\mathbf{v}_{my}(0) = \mathbf{v}_m \sin \theta$

3.5. شقائق الملاحة التناسبية 23

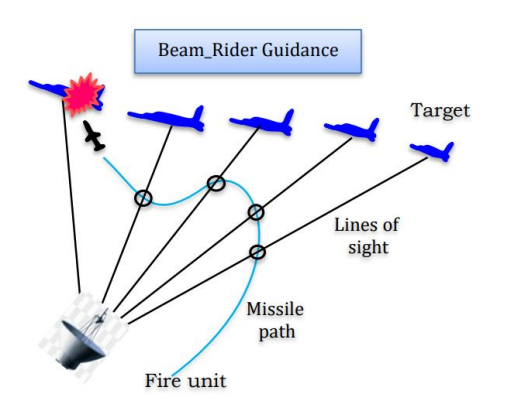
الملاحة النسبية هي قانون التوجيه الأكثر شهرة واستخدامًا للصواريخ الموجهة قصيرة ومتوسطة المدى. و مع بساطتها المتأصلة وسهولة تنفيذها فإنها قوية للغاية حيث يمكنها تحقيق مسافات مقبولة و إن كانت الأهداف التي تقوم بمناورات مراوغة شديدة نسبيًا إذا كان وقت استجابة الصاروخ قصيرًا بدرجة كافية و كان قادرًا على التسارع الكافي في المناورة الجانبية. كما تنص قاعدة الملاحة الموازية على أن: اتجاه خط البصر (LOS) يظل ثابتًا بالنسبة إلى فضاء القصور الذاتي، أي أن LOS يظل موازيًا لخط البصر الأولى. الملاحة التناسبية (PN) هي قانون التوجيه الذي يطبق الملاحة المتوازية، لكنه أبقى معدل خط البصر صفرًا بدلاً من الاتجاه الثابت. لذلك في PN قد يتغير اتجاه خط الرؤية ولكن بمعدل صفر. يفرض PN أن متجه سرعة الصاروخ يجب أن يدور بمعدل يتناسب مع معدل دوران خط البصر (LOS-rate)، وفي نفس الاتجاه [5]. ببساطة، يعتمد توجيه الملاحة التناسبي الكلاسيكي على الحقيقة المنطقية القائلة ألنه إذا كان جسمان قريبان من بعضهما البعض، فسوف يصطدمان في النهاية إذا لم يقم خط البصر بالدوران بالنسبة لفضاء القصور الذاتي". و هو يعتمد على حقيقة أن مركبتان تسيران في مسار تصادمي عندما لا يتغير اتجاه خط رؤيتهما المباشر عند الاقتراب الكافي. و بشكل أكثر تحديدًا، يسعى قانون التوجيه PN إلى إلغاء معدل LOS ضد الأهداف غير المناورة من خلال جعل اتجاه الصاروخ الاعتراضية متناسبًا مع معدل LOS. على سبيل المثال، عند الطيران في مسار ملاحي متناسب، يحاول الصاروخ إلغاء أي تطور في السرعة الزاوية لخط البصر. يقوم الصاروخ بذلك عن طريق توجيه انحرافات الجناح إلى أسطح التحكم [20].



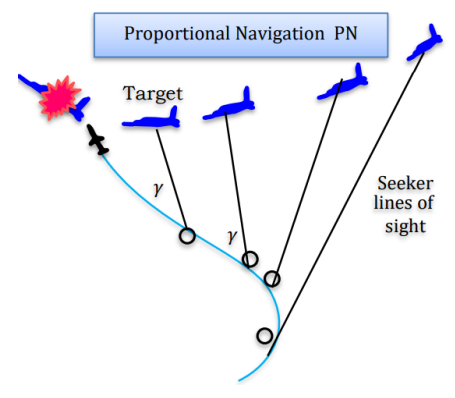
صورة 13: تمثيل بياني يوضح الملاحة التناسبية وأنها تشبه المتوازية عند الاقتراب

هذه الانحرافات تتطلب من الصاروخ القيام بتنفيذ تسارعات ناظمية على شعاع سرعته اللحظية. وبالتالي، فإن الصاروخ يتحكم في انحرافات

الجناح لإبطال أي تطورات في سرعة دوران LOS المقاسة. و هذا $\mathbf{a}_c = N \mathbf{v}_c (\omega_{\mathrm{f}} \times \mathbf{u}_{\mathrm{cl}}) \Rightarrow \mathbf{a}_c = N \mathbf{v}_c \omega_{\mathrm{f}}:$ التسارع الناظمي يعطى بن $\mathbf{a}_c = N \mathbf{v}_c (\omega_{\mathrm{f}} \times \mathbf{u}_{\mathrm{cl}})$ هو ثابت الملاحة، حيث أن: \mathbf{a}_c هو ثابت الملاحة، \mathbf{a}_c هي سرعة الإقتراب، و $\mathbf{a}_c = d\lambda/dt$ سرعة دوران LOS الذي تم قياسه بو اسطة المتحسس الصاروخي.



صورة 14: هندسة الملاحة بتوجيه - خط الإبصار الحامل- لغرض المقارنة مع PN



صورة 15:توضيح هندسي للملاحة التناسبية

• غالبية الصواريخ التي تحتوي على متحسسات "seekers" تستخدم نظام الملاحة PN و الذي يعتمد على معدل التتبع الزاوي لرأس المتحسس. يفرض PN على شعاع توجيه صاروخ أن يدور بمعدل يتناسب مع (LOS-rate)، و في نفس الاتجاه. و بناء على هذا القول نلخص PN في ω_{LOS} = $(\mathbf{r} \times \mathbf{v}_{T/M})/(\mathbf{r}.\mathbf{r})$ عيث عيث $\mathbf{a}_c(t) = N(\mathbf{v}_c \times \omega_{LOS})$ العبارة الرياضية لـ LOS ليست خطيّة مع شعاع توجيه الصاروخ، فإن التسارع المطبق لا يحافظ بالضرورة على الطاقة الحركية. و من الناحية العملية، في غياب القدرة على خنق المحرك، قد لا يكون هذا النوع من التحكم ممكنًا [2].

²³ Alternates of Prop-Nav

- يمكن أيضًا تحقيق PN في أرض الواقع باستخدام فرق السرعة اللحظية: $a_c(t) = N(\mathbf{v}_{T/M} \times \boldsymbol{\omega}_{LOS})$ معرف كما سبق. هذا التسارع يعتمد بشكل صريح على $\mathbf{v}_{T/M}$ ، والذي قد يكون من الصعب الحصول عليه عمليًا [5].
- إذا كان المطلوب من غرفة التوجيه أو القيادة هو: تحديد التسارع الناظمي اللحظي لـ ما يسمى بـ LOS، فإن التعبير التالي يكون دوما صالحاً ومقبو لا في مجال التوجيه الصاروخي

[21]
$$.\mathbf{u}_r = \mathbf{r}/\|\mathbf{r}\|$$
 أن: $\mathbf{a}_c(t) = -N\|\mathbf{v}_{T/M}\|(\mathbf{u}_r \times \boldsymbol{\omega}_{LOS})$ علما أن: $\mathbf{a}_c(t) = -N\|\mathbf{v}_{T/M}\|(\mathbf{u}_r \times \boldsymbol{\omega}_{LOS})$ عند التحكم في الحفاظ على الطاقة مطلوبًا (كما هو الحال عند استخدام أسطح التحكم فقط)، فيمكن استخدام النسارع التالي، والمتعامد مع شعاع سرعة الصاروخ $\mathbf{a}_c(t) = N\|\mathbf{v}_{T/M}\|(\mathbf{u}_m \times \boldsymbol{\omega}_{LOS})$ مع العلم أن $\|\mathbf{u}_m + \mathbf{v}_m\|(\mathbf{v}_m)\|(\mathbf{v}_m)\|$ في الصواريخ من نوع Sidewinde يمكن العثور على تطبيق بسيط لقانون التوجيه هذا عن طريق بعض المعدات التي تستخدم مر آة القطع المكافئ كمتحسس والتي تدور بسرعة عالية [3].

هنا نلخص قوانين التوجيه الخاصة بالملاحة التناسبية وشقائقها

•
$$\mathbf{a}_c = N(\mathbf{v}_{TM} \times \mathbf{\omega}_{LOS})$$

• $\mathbf{a}_c = N(\mathbf{\omega}_{LOS} \times \mathbf{v}_c)$
• $\mathbf{a}_c = \frac{N}{r^2} \mathbf{v}_c \times (\mathbf{r} \times \mathbf{v}_c)$ with $\mathbf{v}_{TM} = \mathbf{v}_T - \mathbf{v}_M$
• $\mathbf{v}_c = \mathbf{v}_M - \mathbf{v}_T$

•
$$\mathbf{a}_{c} = N \frac{\|\mathbf{v}_{TM}\|}{r} (\mathbf{\omega}_{LOS} \times \mathbf{r}) = N \|\mathbf{v}_{TM}\| (\mathbf{\omega}_{LOS} \times \mathbf{u}_{r})$$

• $\mathbf{a}_{c} = N \frac{\|\mathbf{v}_{TM}\|}{\|\mathbf{v}_{M}\|} (\mathbf{v}_{M} \times \mathbf{\omega}_{LOS}) = N \|\mathbf{v}_{TM}\| (\mathbf{u}_{m} \times \mathbf{\omega}_{LOS})$
• $\mathbf{a}_{c} = N \left[\mathbf{u}_{r} \times \left\{ \frac{\|\mathbf{v}_{c}\|}{r} \mathbf{v}_{TM} + \frac{1}{2} \mathbf{a}_{T} \right\} \right] \times \mathbf{u}_{r}$ (APN)

3.6. الملاحة التناسبية مع عدم بذل أي الجهد24

لقد رأينا حتى الآن أن الملاحة التناسبية تبدو فعالة، لكننا لا نعرف السبب. على الرغم من أنه من الممكن إنشاء حجج هندسية توضح أنه من المنطقي جدًا إصدار أوامر تسريع تتناسب مع معدل خط البصر (أي أن معدل خط البصر صفر يعني أننا على مثلث تصادم وبالتالي لا توجد أوامر أخرى ضرورية)، فليس من الواضح ما يحدث.إن مفهوم عدم بذل أي جهد ليس مفيدًا فقط في شرح التنقل التناسبي و لكنه مفيد أيضًا في استخلاص وفهم قوانين التوجيه الأكثر تقدمًا يمكننا تعريف "zero effort miss"

والتي يرمز لها ب M_d على أنها المسافة التي سيفتقد فيها الصاروخ والتي يرمز لها ب M_d على أنها المسافة التي سيفتقد فيها الصاروخ بأي اعتراض الهدف إذا استمر الهدف في مساره الحالي ولم يقم الصاروخ بأي مناورات تصحيحية أخرى. يمكن التعبير عن ZEM ب $M_d = \mathbf{r} + \mathbf{v}_{tm} t_{go} = \mathbf{r} + \mathbf{v}_{tm} (t_{\rm f} - t)$ حيث $\mathbf{r} = \mathbf{r}_t - \mathbf{r}_m$ و $\mathbf{r} = \mathbf{r}_t - \mathbf{r}_m$ و $\mathbf{r} = \mathbf{r}_t - \mathbf{r}_m$ و $\mathbf{r} = \mathbf{r}_t - \mathbf{r}_m$ هو $\mathbf{r} = \mathbf{r}_t - \mathbf{r}_t$ الوقت اللازم منذ الانطلاق حتى $\mathbf{r} = \mathbf{r}_t$ النقاطع. وبالتالي، يمكننا أن نرى أنه في

هذه الحالة، فإن ZEM هو مجرد تنبؤ بسيط (بافتراض سرعات ثابتة وتسارع صفري) للفرق النسبي المستقبلي بين الصاروخ و الهدف. من الشكل يمكننا أن نرى أن مركبة M_d المتعامدة مع خط البصر والتي يرمز لها M_1 يمكن العثور عليها بواسطة حساب المثلثات و يعطى بواسطة

$$\mathbf{M}_{\text{oriented}} = \begin{bmatrix} \cos(\lambda) & \sin(\lambda) \\ -\sin(\lambda) & \cos(\lambda) \end{bmatrix} \mathbf{M}_d = \begin{bmatrix} \star \\ M_{\perp} \end{bmatrix}$$
 (23)

 $M_{\perp} = [-\sin(\lambda) \quad \cos(\lambda)] M_d$ حيث أن المسافة الناظمية هي

مما يعني $M_{\perp} = {
m v}_{
m LOS} t_{
m go} = [r(d\lambda/dt)] t_{
m go}$ مما يعني مما يعني

$$M_{\perp} = \frac{t_{\rm go}}{r} \left[r_x \mathbf{v}_{tmx} - r_y \mathbf{v}_{tmy} \right] \qquad \mathbf{s} \qquad \frac{d\lambda}{dt} = \frac{M_{\perp}}{r t_{\rm go}}$$

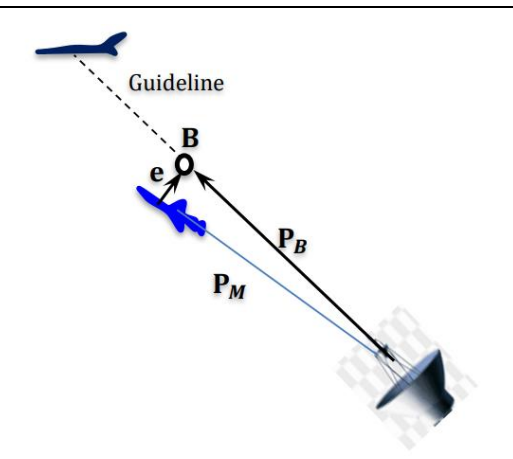
إذا افترضنا أن الفرق النسبي بين الصاروخ والهدف وسرعة الاقتراب يرتبطان تقريبًا بالوقت الذي يمر: $t_{\rm go}=r/v_{\rm c}$ ، فإن قانون التوجيه عن طريق الملاحة التناسبية يمكن التعبير عن بدلالة M_{\perp} على النحو الأتي

$$a_{c} = N v_{c} \frac{d\lambda}{dt} = N \frac{r}{t_{go}} \frac{M_{\perp}}{r t_{go}} = \frac{N}{t_{go}^{2}} M_{\perp} \text{ and}$$

$$a_{c} = \frac{N}{t_{go}^{2}} M_{\perp} = \frac{N}{t_{go}^{2}} \left[M_{d} - (M_{d} \cdot \mathbf{r}) \frac{\mathbf{r}}{\|\mathbf{r}\|^{2}} \right]$$
(24)

هكذا، يمكننا أن نرى أن تسارع الملاحة التناسبي المعامد لخط البصر لا يتناسب فقط مع السرعة الزاوية لخط البصر وسرعة الاقتراب ولكنه يتناسب أيضًا مع ZEM ويتناسب عكسيًا مع مربع وقت الذهاب [19]. الأن دعونا نلخص الخوار زمية في

²⁴ PN by ZEMD



صورة 17: تمثيل هندسي يبين الملاحة بتوجيه خط الإبصار

التوجيه بخط البصر يسعى جاهدا لإبقاء الصاروخ ضمن شعاع التوجيه المنقول من الأرض. لنعرف الأشعة الأساسية في بناء التسارع المطلوب للصاروخ، و كما هو موضح في الشكل: $\mathbf{u}_1 = \mathbf{P}_B - \mathbf{P}_M$ و الشعاع حيث $\mathbf{u}_3 = (\boldsymbol{\omega}_{\mathrm{gl}} \times \mathbf{u}_{\mathrm{cl}}) / \| \boldsymbol{\omega}_{\mathrm{gl}} \times \mathbf{u}_{\mathrm{cl}} \|$ و الشعاع $\mathbf{u}_2 = \mathbf{v}_B - \mathbf{v}_M$ $\mathbf{u}_{\mathrm{cl}} = \begin{bmatrix} \mathsf{C}_{\theta} \mathsf{C}_{\mathsf{tlr}} : \mathsf{C}_{\theta} \mathsf{S}_{\mathsf{tlr}} : -\mathsf{S}_{\theta} \end{bmatrix}^T \quad \text{\mathfrak{g}} \quad \boldsymbol{\omega}_{\mathrm{gl}} = (\boldsymbol{P}_T \times \mathbf{v}_T) / \|\boldsymbol{P}_T\|^2$ ونعرف أيضا P_B على أنه متجه موضع النقطة B الواقعة على خط الرؤية الأرضية و هي الاسقاط العمودي لموضع الصاروخ على الحامل، P_T .

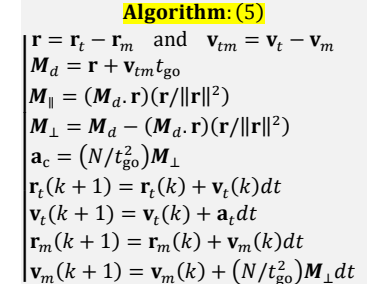
$$\mathbf{P}_{B} = (\mathbf{u}_{gl} \cdot \mathbf{P}_{M}) \mathbf{u}_{gl} = (\mathbf{P}_{T} \cdot \mathbf{P}_{M} / ||\mathbf{P}_{T}||^{2}) \mathbf{P}_{T} = \kappa \mathbf{P}_{T}$$
(25)

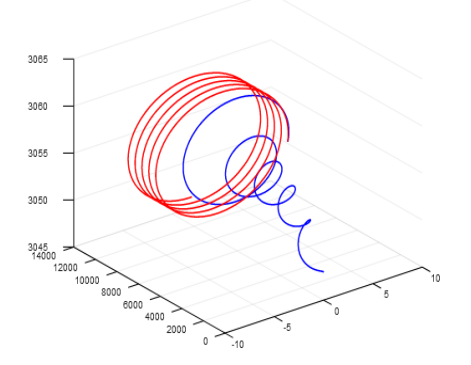
حيث $\|\mathbf{u}_{1} - \mathbf{v}_{1}\| = \mathbf{v}_{1}$ و باستخدام كل من $\|\mathbf{u}_{2} - \mathbf{v}_{1}\| = \mathbf{v}_{1}$ عيمكن توجيه الصاروخ على خط الدليل، وفقا لـ

$$\mathbf{a}_{c} = k_{1}\mathbf{u}_{1} + k_{2}\mathbf{u}_{2} + k_{3}A_{\text{corio}}\mathbf{u}_{3}$$

= $k_{1}\mathbf{u}_{1} + k_{2}\mathbf{u}_{2} + k_{3}A_{\text{corio}}(\boldsymbol{\omega}_{\text{gl}} \times \mathbf{u}_{\text{cl}})/\|\boldsymbol{\omega}_{\text{gl}} \times \mathbf{u}_{\text{cl}}\|$

التسار ع A_{corio} ، ينتج عن الدور ان الزاوي لشعاع التوجيه الأرضى، وهو مكون أساسى في تسارع الصاروخ إذ يسمح له بمواكبة دوران الشعاع الأرضى. و في تطبيقات الصواريخ سطح-جو، عادةً ما يكون المعدل الزاوي لشعاع التوجيه كبير بما يكفي و هذا مما يجعل من هذه المعلمة مكونا أساسيا في توجيه الصاروخ. يتم حساب تسارع A_{corio} بواسطة هو طویلهٔ أي Mag[...] حیث $A_{\text{corio}} = \text{Mag}(\boldsymbol{\omega}_{\text{gl}} \times (\mathbf{u}_{\text{gl}}, \mathbf{v}_{M})\mathbf{u}_{\text{gl}})$ مقدار والمقادير k_1 و k_2 و k_3 هي ثوابت التناسب، وعادة ما يتم حساب ثوابت التناسب هذه باستخدام طرق التحسين الأمثل و في هذا الصدد نختار خوارزمیة PSO لتقلیل من مسافة M_d [5].





صورة 16: محاكاة 3D للملاحة التناسبية 25

3.7. الملاحة بتوجيه خط البصر 26

يعتبر التتبع الصاروخي الموجه عملية ديناميكية للغاية، كما أن الظروف التي تحدد مدى اقتراب الصاروخ من الهدف تتغير بشكل مستمر، وأحيانا بمعدل مرتفع جدا ولتحقيق هذه الغاية فإن مستشعر التوجيه يقوم بقياس واحد أو أكثر من معلمات مسار الصاروخ بالنسبة للهدف، و بناءً على قياسات المستشعر إنه هناك حاجة إلى عملية منطقية لتحديد تصحيحات مسار الرحلة المطلوبة. هذه العملية المنطقية تسمى قانون التوجيه. و الهدف من قانون التوجيه هو جعل الصاروخ يقترب قدر الإمكان من الهدف.

²⁶ LOS or Beam Rider

4. المساهمة: قانون التوجيه المقترح (Proposed 3D Pure

في هذا القسم الأخير نقترح نسخة جديدة من الملاحة بالمطاردة المباشرة ثلاثية الأبعاد، و على عكس الملاحة التقليدية من هذه النسخة المحدثة، فإن شعاع التوجيه المفروض على الصاروخ يتكيف مع اتجاه الهدف ويحاكيه، و في الوقت نفسه يفرض قانون القيادة على الصاروخ أن يحافظ على طويلة تسارعه والمتناسب مع التسارع المستهدف. فلهذا أقترح التسمية الاتية: "الملاحة التناسبية للمطاردة المباشرة". يتم التحقيق في صحة وأداء خوارزمية التوجيه المقترحة من خلال التحليل الرياضي-النظري والمحاكاة العددية.

دعنا نبدأ بحساب تسارع الصواريخ a_m من الصيغة المعروفة للملاحة الكلاسيكية للمطاردة المباشرة

$$\mathbf{a}_m = \left\{ \frac{d\mathbf{v}_m}{dt} \right\} \frac{\mathbf{r}}{r} + \frac{\mathbf{v}_m}{r^2} \left[r \left(\frac{d\mathbf{r}}{dt} \right) - \mathbf{r} \left(\frac{dr}{dt} \right) \right] \iff \mathbf{v}_m(\mathbf{r}/r) = \mathbf{v}_m$$

لذلك سيكون تسارع الصاروخ

$$\mathbf{a}_{m} = \left\{ \frac{1}{r} \left\{ \frac{d\mathbf{v}_{m}}{dt} \right\} - \frac{\mathbf{v}_{m}\mathbf{v}_{c}}{r^{2}} \right\} \mathbf{r} - \frac{\mathbf{v}_{m}}{r} \mathbf{v}_{c}$$
 (26)

حيث أن $\mathbf{v}_c = -d\mathbf{r}/dt = \text{closing velocity}$ في هذه العبارة المحصل عليها، هناك بعض التعقيد و هو صعوبة حساب (dv_m/dt) ، لأنه عند حساب القيمة الشعاعية a_m نحتاج أولاً إلى المقدار السلمي و الذي يعسر توفيره عادة، لذلك من أجل التغلب على هذه (dv_m/dt) المشكلة نفترض أن $[dv_m/dt]$ يتناسب مع التسارع المستهدف $:dv_m/dt = ka_t$

$$\mathbf{a}_c = \left\{ k \frac{\mathbf{a}_t}{r} - \frac{\mathbf{v}_m \mathbf{v}_c}{r^2} \right\} \mathbf{r} - \frac{\mathbf{v}_m}{r} \mathbf{v}_c \tag{27}$$

حيث أن k = proportionality constant. يتم التحكم في الصواريخ بو اسطة أجهزة أو توماتيكية قائمة بذاتها تسمى مقياس التسار ع²⁷ التي تقيس التسارع بالقصور الذاتي. و في التحكم بالصواريخ، يقوم هذا الجهاز بقياس التسارع الرأسي و الجانبي و الطولي للصاروخ الذي يتم التحكم فيه.

يتم حساب تسارع الهدف في أنظمة الصواريخ الموجهة باستخدام مجموعة من التقنيات و الأدوات المدمجة التي تعمل بالتوازي لتحقيق دقة عالية في التعقب و الإصابة. من بين هذه التقنيات:

- رادار البحث والتتبع
- الذكاء الاصطناعي
- مستشعرات القصور الذاتي • مرشح كالمان

زيادة احتمالية إصابة الهدف بنجاح. و مما يبين قوة و فعالية قانون القيادة المقترح هو تعلقه بتسارع الهدف و سرعته معا مما يزيد في دقة الإصابة. و مما يزيد الامر وضوحا أنه يمكن استعمال كل من التقنيات السابقة لتوفير المعلومات الكافية عن حركة الهدف ثم دمجها في قانون القيادة، مما يفضى الى مطاردة مباشرة وذكية. يجدر التنويه أن هذه الطريقة صالحة أيضا للمسيرات و الطائرات دون طيار.

كل هذه الأدوات والتقنيات تعمل معًا لتمكين نظام الصاروخ الموجه

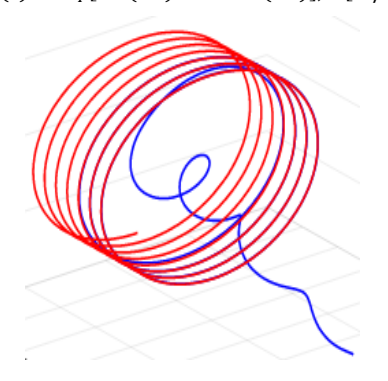
من حساب تسارع الهدف بدقة، مما يساعد على تحسين فعالية التوجيه و

Algorithm: (6)

 $\mathbf{r} = \mathbf{r}_t - \mathbf{r}_m$ and $\mathbf{v}_{tm} = \mathbf{v}_t - \mathbf{v}_m$ $\mathbf{v}_c = -d\mathbf{r}/dt = -\mathbf{v}_{tm}$ $\mathbf{v}_m = \|\mathbf{v}_m\|; \quad \mathbf{v}_c = \|\mathbf{v}_c\|; \quad r = \|\mathbf{r}\|$ $\begin{vmatrix} \mathbf{a}_c = \left\{ k \frac{\mathbf{a}_t}{r} - \frac{\mathbf{v}_m \mathbf{v}_c}{r^2} \right\} \mathbf{r} - \frac{\mathbf{v}_m}{r} \mathbf{v}_c \\ \mathbf{r}_t(k+1) = \mathbf{r}_t(k) + \mathbf{v}_t(k) dt \end{vmatrix}$ $\mathbf{r}_m(k+1) = \mathbf{r}_m(k) + \mathbf{v}_m(k)dt$ $\mathbf{v}_m(k+1) = \mathbf{v}_m(k) + \mathbf{a}_c dt$

سيناريوهات التتبع عن طريق التوجيه المقترح (Proposed 3D Pure Pursuit): في محاكاتنا هذه يطلق الصاروخ الموجه من منصة $\mathbf{v}_{M}(t_{0})=$ هو هدار شعاعها هو ابتدائية مقدار النقطة انطلاقا [0 914.4 0] [m/s] ${\bf P}_T(t_0) = {\bf P}_T(t_0)$ بغرض استهداف طائرة تقع في الموضع [0 0 3048], [m] $\mathbf{v}_T(t_0) = -[(A_T/g_0]]$ وشعاع سرعتها الإبتدائية هو [0 12192 3048] w = 3 و $A_T = 6 \times 9.81$ و $A_T = 6 \times 9.81$ و $A_T = 6 \times 9.81$ و $A_T = 6 \times 9.81$ الغرض من هذه المحاكات هو تحديد الأداء ومدى فاعلية التوجيه المقترح و ; dt = 0.001; k = 1; K = 20 و الظروف التالية تسارع الطائرة يعطى بالعلاقة:

 $A_T(t) = A_T[\sin(wt) \ 0 \ \cos(wt)], \ [\text{m/s}^2]$



صورة 18: محاكات ثلاثية الأبعاد لاشتباك الصاروخ مع الهدف بالتوجيه المقترح

²⁷ Accelerometers

تكمن قوة قانون القيادة المقترح في استخدام سرعة الهدف وتسارعه، وتحسين دقة الإصابة. و من خلال استخدام التقنيات المدمجة السابقة الذكر، فإنه يضمن أن الطريقة المقترحة ستلاحق الهدف بشكل مثالي، كما أنها قابلة للتطبيق على الطائرات بدون طيار والمركبات الجوية غير المأهولة. الأن و لمزيد من تحسين أداء و فعالية القانون المقترح دعنا نختار متعدد الشعب $\mathbf{s}(\mathbf{x}) = \mathbf{r} \times \mathbf{v}_m$ الشعب $\mathbf{s}(\mathbf{x}) = \mathbf{r} \times \mathbf{v}_m$ كسطح منزلق. فإن مشتق هذا السطح سيكون الشعب $\mathbf{s}(\mathbf{x}) = \dot{\mathbf{r}} \times \mathbf{v}_m + \mathbf{r} \times \mathbf{a}_m$ الشرط $\mathbf{v}_m = (\mathbf{v}_m/r)\mathbf{r}$ فلذلك

$$\dot{\mathbf{s}}(\mathbf{x}) = \frac{d\mathbf{r}}{dt} \times \mathbf{v}_m + \mathbf{r} \times \mathbf{a}_m = \frac{\mathbf{v}_m}{r} \frac{d\mathbf{r}}{dt} \times \mathbf{r} + \mathbf{r} \times \mathbf{a}_m$$
$$= \mathbf{r} \times \left\{ \mathbf{a}_m - \frac{\mathbf{v}_m}{r} \frac{d\mathbf{r}}{dt} \right\} = \mathbf{r} \times \left\{ \mathbf{a}_m + \frac{\mathbf{v}_m}{r} \mathbf{v}_c \right\}$$

یکون شرط التقارب مضمونا إذا اقتربت حالة النظام الدینامیکي أخیرًا من السطح المنزلق. و من أجل الحصول علی هذا الشرط، دعونا نفرض دالة لیابونوف التالیة: $V(\mathbf{x}) = \mathbf{s}^T(\mathbf{x}).\mathbf{s}(\mathbf{x})/2 = \|\mathbf{s}(\mathbf{x})\|^2/2$ "أي نختار ها کمرشح لدالة لیابونوف" حیث $\dot{\mathbf{v}}(\mathbf{x}) = \mathbf{s}^T(\mathbf{x}).\dot{\mathbf{s}}(\mathbf{x})$ و بواسطة نظریة لیابونوف یقال إن النظام مستقر إذا وفقط إذا کان: $\mathbf{c} = \mathbf{0} \geq \mathbf{s}^T(\mathbf{x}).\dot{\mathbf{s}}(\mathbf{x})$ بحیث یکون مشتقه من الشکل $\mathbf{s}(\mathbf{x}) = \mathbf{s}(\mathbf{x}).\dot{\mathbf{s}}(\mathbf{x})$ حیث $\mathbf{s}(\mathbf{x})$ مصفوفة موجبة بالتحدید، فإن شرط سالبیة مشتق الطاقة:

$$\dot{V}(\mathbf{x}) = \mathbf{s}^T(\mathbf{x}).\,\dot{\mathbf{s}}(\mathbf{x}) = -\mathbf{s}^T(\mathbf{x}).\,K.\,\mathrm{sign}\big(\mathbf{s}(\mathbf{x})\big) \leq 0$$
 هو محقق دائمًا.

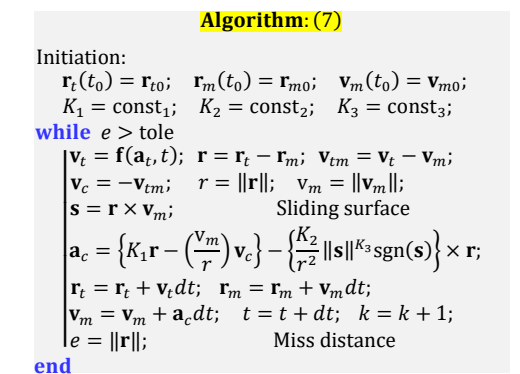
 $\dot{\mathbf{s}}(\mathbf{x})$ الآن، نحاول اختيار التسارع \mathbf{a}_m بواسطة خدعة ذكية لإجبار $\mathbf{s}(\mathbf{x})$ على أن تكون بالشكل المتوقع $\mathbf{s}(\mathbf{s}(\mathbf{x}))$. $\dot{\mathbf{s}}(\mathbf{x}) = -K_2$. $\dot{\mathbf{s}}(\mathbf{s}(\mathbf{x}))$. $\dot{\mathbf{s}}(\mathbf{s}(\mathbf{x}))$. $\dot{\mathbf{s}}(\mathbf{r})$. $\dot{\mathbf{s}}(\mathbf{r})$

$$\mathbf{a}_{m} = \left\{ K_{1} \cdot \mathbf{r} - \left(\frac{\mathbf{v}_{m}}{r}\right) \mathbf{v}_{c} \right\} + \left(\frac{K_{2}}{r^{2}}\right) \mathbf{r} \times \operatorname{sign}(\mathbf{s}(\mathbf{x}))$$
 (28)

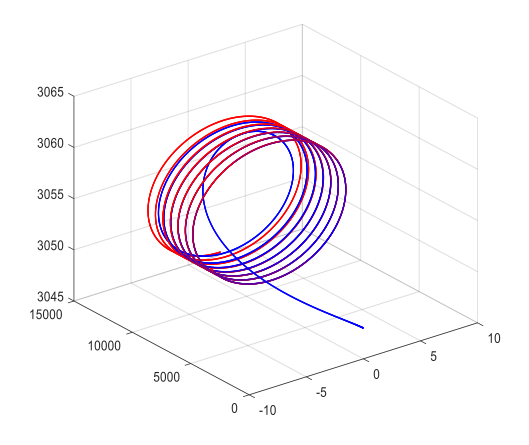
لتعزيز التقارب في المشاركة المقترحة وضعنا

$$\mathbf{a}_{m} = \left\{ K_{1}.\mathbf{r} - \left(\frac{\mathbf{v}_{m}}{r}\right)\mathbf{v}_{c} \right\} - \left(\frac{K_{2}}{r^{2}}\right) \|\mathbf{s}\|^{K_{3}} \operatorname{sign}(\mathbf{s}) \times \mathbf{r}$$
 (29)

$$\mathbf{s}(\mathbf{x}) = \mathbf{r} \times \mathbf{v}_m$$
 و $\mathbf{v}_c = -d\mathbf{r}/dt$



سيناريو هات التتبع لوضع الانزلاق PP: الأن، نكرر نفس التجربة كما في السابق، ولكن هذه المرة مع إضافة بعض الضوضاء إلى بيانات الباحث (أي في شكل ضوضاء بيضاء غاوسية) يسمح لنا هذا بتقييم قوة الطريقة المقترحة ضد الاضطرابات وتقييم كفاءة الخوارزمية المقترحة.



صورة 19: محاكات ثلاثية الأبعاد لاشتباك الصاروخ مع الهدف بالتوجيه (3D-SPP)

تثبت نتائج خوار زمية التوجيه هذه دفة استثنائية، حيث تحقق أدنى حد من مسافة الخطأ و الاعتراض السريع. كما تحافظ على التتبع الدقيق حتى في البيئات الصاخبة، و تتنبأ بفعالية بمناورات الهدف. و يعكس هذا الأداء استراتيجيات تحكم متقدمة قادرة على محاذاة مسار الصاروخ بسرعة مع مسار الهدف، مما يضمن التتبع الأمثل في السيناريوهات الديناميكية.

لكي نقوم بمحاكاة شاملة للصار وخ نعرض النموذج الديناميكي الكلي و الذي يعطى بجملة المعادلات التفاضلية الاتية [22].

المحاور : F_z ; F_y ; F_x المحاور على الجسم في اتجاه المحاور الثلاث و هذه الحصيلة متكونة من القوى الأيروديناميكية و قوى الدفع و قوى الدفع و قوى الدفع و

 $\mathbf{F}_{\text{Total}} = \mathbf{F}_x \mathbf{i}_b + \mathbf{F}_y \mathbf{j}_b + \mathbf{F}_z \mathbf{k}_b = \mathbf{F}_A + \mathbf{F}_P + \mathbf{F}_G : N; M; L$

هي حصيلة العزوم المؤثرة على الجسم حول المحاور الثلاث و هذه الحصيلة متكونة من العزوم الأيروديناميكية و عزوم الدفع و عزوم الجاذبية $\mathbf{M}_{Total} = \mathbf{Li}_b + \mathbf{Mj}_b + \mathbf{Nk}_b = \mathbf{M}_A + \mathbf{M}_P + \mathbf{M}_G$ ، $\mathbf{m}_{Total} = \mathbf{Li}_b + \mathbf{Mj}_b + \mathbf{Nk}_b = \mathbf{m}_a + \mathbf{yj}_b + \mathbf{zk}_b$ هو شعاع الموضع، $\mathbf{r} = x\mathbf{i}_b + y\mathbf{j}_b + w\mathbf{k}_b$ هو شعاع السرعة الخطية، $\mathbf{w}_m = u\mathbf{i}_b + v\mathbf{j}_b + r\mathbf{k}_b$ هو متجه السرعة الزاوية.

 $u=V_M\coslpha\coslpha\coseta$ الانزلاق الجانبي eta على النصحو التصالي $w=V_M\sinlpha\coseta$ و $v=V_M\sineta$

$$\alpha(t) = \tan^{-1}\left(\frac{w}{u}\right); \qquad \beta(t) = \sin^{-1}\left(\frac{v}{V_M}\right) = \tan^{-1}\left(\frac{v}{V_{uv}}\right)$$

حيث $V_{uv} = \sqrt{u^2 + v^2}$ هي الزاوية بين وتر الجناح واتجاه الهواء المار عليه الزاوية $\beta(t)$ تسمى زاوية الانزلاق الجانبي. في بعض الأحيان نحتاج إلى تعريف زاوية التتبع الكلية على أنها $\alpha_t = \cos^{-1}(\cos\alpha\cos\beta)$

بافتراض أن عزم القصور الذاتي يتغير خطيًا مع الكتلة، يتم تحديث عزم القصور الذاتي باستخدام العلاقة

$$I(t) = I_0 - (I_0 - I_{b0})\Delta m(t)$$

حيث :

$$\Delta m(t) = (m_0 - m(t))/(m_0 - m_{b0})$$

هو عزم القصور الذاتي عند إطلاق $I_0 = diag([I_{x0} \ I_{y0} \ I_{z0}])$ الصاروخ،

 $I_{b0}=diagig([I_{xb}\ I_{yb}\ I_{zb}]ig)$ هو عزم القصور الذاتي عند الاحتراق، $I(t)=diagig([I_x\ I_y\ I_z]ig)$ هو عزم القصور الذاتي اللحظي m_{b0} هي كتلة الصاروخ عند الاحتراق، m_{b0} هي كتلة الصاروخ لحظة الإطلاق.

يتم تصحيح الدفع للضغط الجوي المحيط P_a وفقا للعلاقة:

 $F_p(t) = \dot{m}_e I_{sp} + (P_{\rm ref} - P_a) A_e = F_{\rm pref} + (P_{\rm ref} - P_a) A_e$ حيث P_a الضغط الجوي المحيط، و $P_{\rm ref}$ الضغط المحيط المرجعي P_a يتغير موقع مركز الكتلة خطيًا مع الكتلة. يتم تحديث موقع مركز الكتلة χ_{cm} الكتلة χ_{cm} باستخدام:

$$x_{cm}(t) = x_{cm_0} - (x_{cm_0} - x_{cm_{b0}}) \Delta m(t)$$

حيث

 χ_{cm_0} هي المسافة اللحظية من مركز الكتلة إلى أنف الصاروخ و χ_{cm} هي مقدار χ_{cm} عند الاحتراق هي مقدار χ_{cm} عند لحظة الإطلاق و $\chi_{cm_{bo}}$ 0 و ولا وقت الاحتراق و χ_{cm} عند الدوتر و على عند الذي تتم فيه المحاكاة، و $\chi_{cm_{bo}}$ 0 و و و وقت الاحتراق. و على أغلب الصواريخ، يتم توجيه مقدار الدفع χ_{cm_0} على طول المحور في أغلب الصاروخ). بعد ذلك، تكون مكونات شعاع الدفع χ_{cm_0} المعبر عنها في إطار مرجع الجسم هي χ_{b} 0 و χ_{b} 1 و المولول المحور شعاع عزم الدفع χ_{b} 2 فهي χ_{b} 3 و المحور الكتلة الحالي χ_{cm_0} 4 من مقدمة الصاروخ إلى مركز الكتلة الحالي χ_{cm_0} 4 كما

يتم حساب قوة الجاذبية المعبر عنها بإحداثيات المعلم المرتبط بالجسم عن طريق ضرب المتجه F_e بالمصفوفة التي تتحول من إطار الأرض إلى بمكن $\mathbf{F}_{\mathrm{G}}=m(t)\mathrm{g}ig(-\mathrm{s}_{ heta}\mathbf{i}_{b}+\mathrm{s}_{\phi}\mathrm{c}_{ heta}\mathbf{j}_{b}+\mathrm{c}_{\phi}\mathrm{c}_{ heta}\mathbf{k}_{b}ig)$ بمكن إسقاط القوة الديناميكية الهوائية الكلية الناتجة F_A على الصاروخ في أي إطار إحداثي لإعطاء ثلاثة مكونات متعامدة.

$$\mathbf{F}_{A} = \begin{bmatrix} F_{AX} \\ F_{Ay} \\ F_{Az} \end{bmatrix}_{B} = \begin{bmatrix} F_{L} \sin \alpha_{t} - F_{D} \cos \alpha_{t} \\ -v(F_{D} \sin \alpha_{t} + F_{L} \cos \alpha_{t}) / \sqrt{v^{2} + u^{2}} \\ -w(F_{D} \sin \alpha_{t} + F_{L} \cos \alpha_{t}) / \sqrt{v^{2} + u^{2}} \end{bmatrix}$$

و $F_D = 0.5
ho V^2 C_D S$ حيث أن قوى السحب والرفع و القوة الجانبية هي و العزوم الأبروديناميكية $F_S = 0.5 \rho V^2 C_V S$ و $F_L = 0.5 \rho V^2 C_L S$ $\mathbf{L}_A = 0.5 \rho V^2 C_l \mathrm{Sd}$ حیث $\mathbf{M}_A = \mathbf{L}_A \mathbf{i}_b + \mathbf{M}_A \mathbf{j}_b + \mathbf{N}_A \mathbf{k}_b$ و C_D , C_L فإن $N_A=0.5 \rho V^2 C_n \mathrm{Sd}$ و $M_A=0.5 \rho V^2 C_m \mathrm{Sd}$ [N. m] هما على التوالى معامل الرفع الديناميكي الهوائي و معامل السحب V ، الكثافة الجوية القياسية عند مستوى سطح البحر الديناميكي الهوائي ho C_{l} . \vec{v} عنه البرعة الهواء بالنسبة للجسم، مقدار متجه السرعة المواء بالنسبة للجسم، معامل عزم الدوران Roll الديناميكي الهوائي حول مركز كتلة الصاروخ، معامل عزم الانحدار Pitch الدینامیکی الهوائی حول مرکز کتله C_m ، الصاروخ C_n معامل عزم الانحراف Yaw الديناميكي الهوائي حول مركز الكتلة، S المساحة المرجعية الإيروديناميكية ، d طول مرجعي ديناميكي هوائي للجسم.

يتم إعطاء المعاملات الديناميكية الهوائية بواسطة:

$$\begin{split} C_D &= C_{D_0} + kC_L^2 \\ C_L &= C_{L_{\alpha}} \alpha \\ C_l &= C_{l_{\delta}} \delta_r + \frac{d}{2 \mathrm{V}} \Big(C_{l_p} p \Big) \\ C_m &= C_{m_{\mathrm{ref}}} - C_{N_Z} \Big(\frac{x_{cm} - x_{\mathrm{ref}}}{d} \Big) + \frac{d}{2 \mathrm{V}} \Big(C_{m_q} + C_{m_{\alpha}} \Big) q \\ C_n &= C_{n_{\mathrm{ref}}} + C_{N_Y} \Big(\frac{x_{cm} - x_{\mathrm{ref}}}{d} \Big) + \frac{d}{2 \mathrm{V}} \Big(C_{n_r} + C_{n_{\beta}} \Big) r \end{split}$$

كما يتم حساب مكونات الميل والانحراف للعزم الأيروديناميكي حول $C_{m_{
m ref}} = C_{m_{lpha}} lpha + C_{m_{\delta}} \delta_{p}$ و $C_{n_{
m ref}} = C_{n_{eta}} eta + \delta_{p}$ مرکزه باستخدام

و نظرًا لكونه من المفترض أن يكون الصاروخ تناظر تعامدي، $C_{n_s}\delta_{
m V}$

$$\begin{split} & C_{n_{eta}} = C_{m_{lpha'}}, \quad C_{n_r} = C_{m_q'}, \quad & [\mathrm{rad}^{-1}](\mathrm{deg}^{-1}) \ & C_{n_{\delta}} = C_{m_{\delta'}}, \quad & C_{n_{\dot{\kappa}}} = C_{m_{\dot{\kappa}'}}, \quad & [\mathrm{rad}^{-1}](\mathrm{deg}^{-1}) \end{split}$$

يتم حساب المعاملات المقابلة لمكونات القوة العمودية في المحورين ور کے اس کے اور کا کہ کہ وہ کے اس کے اس کے اس کے اس کے کہ اس کے و معامل الضغط الديناميكي، [باسكال]. المصطلح $Q=0.5 \rho V^2$ هو $Q=0.5 \rho V^2$ مقدار مهم جدًا، يعرف باسم معامل الضغط الديناميكي الذي يساوي الطاقة الحركية لكل وحدة حجم من الهواء. سيتم تقديم شكلين متكافئين من Q هنا: رقم ماخ و P_a الضغط الجوي. $Q=0.5
ho V^2=0.7
ho P_a M_N^2$ $V_{\rm S}$ حيث $M_{\rm N}=V_{\rm M}/V_{\rm S}$ كما يمكن حساب رقم ماخ بواسطة صيغة أخرى $R_e = \rho V d/\mu$ هي سرعة الصوت. من جهة أخرى، يقيس رقم رينولدز نسبة القوى القصورية إلى قوى اللزوجة في تدفق السوائل و هو لا يقل أهمية عن الماخ حيث، d هو طول المرجع الديناميكي الهوائي، V هي سرعة الجسم، μ هي اللزوجة الديناميكية الجوية، و ρ هي الكثافة الجوية. يمثل d عادةً طول أو قطر الصاروخ، مـــما يؤثر على خصائص التدفق. و للمعلومية فإن معاملات القوة هي دوال بدلالة رقم رينولدز . في التطبيقات التي تتوفر فيها بيانات الغلاف الجوي المقاسة على ارتفاع واحد أو ارتفاعات قليلة h ، يتم نمذجة الغلاف الجوى في محاكاة الطيران باستخدام المعادلات التي تستقرئ أو تستكمل البيانات وفقًا للمبادئ المعروفة للتغير الجوي مع h هذه المعادلات هي

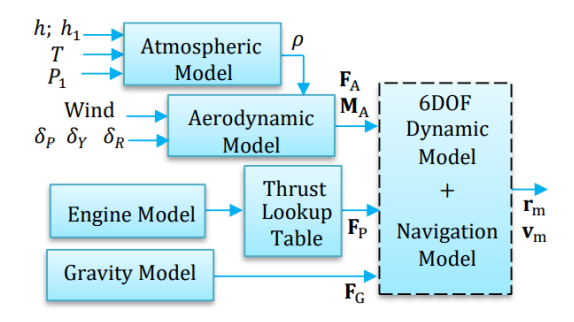
$$T = T_1 + a(h - h_1), [K].$$
 $P = P_1 + (T/T_1)^{-g_0/(aR)}, [Pa]$
 $\rho = P/(RT), [kg/m^3].$ $V_s = \sqrt{\gamma RT}, [m/s]$

 g_0 و معدل التناقص الحراري 28 [K/m] .و ρ كثافة الهواء، و معدل معدل التناقص الحراري قيمة تسارع الجاذبية عند سطح الأرض، h الارتفاع عن مستوى سطح P (مستوى سطح البحر أو سطح الأرض)، P الأرتفاع المرجعي (مستوى سطح البحر أو سطح الأرض) h_1 الضغط عند الارتفاع المرجعي P_1 ، h الضغط عند الارتفاع المرجعي T_1 ، الثابت R هو ثابت الغاز $R^{(2)}$ درجة الحرارة عند ذلكم الارتفاع، Rدرجة الحرارة عند الارتفاع المرجعي، $V_{\rm c}$ سرعة الصوت عند الارتفاع به السعات الحرارية 30 .

³⁰ Ratio of Specific Heats

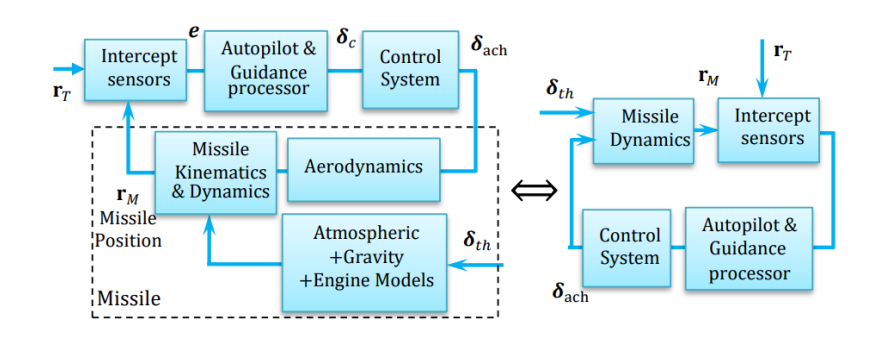
²⁸ Lapse Rate

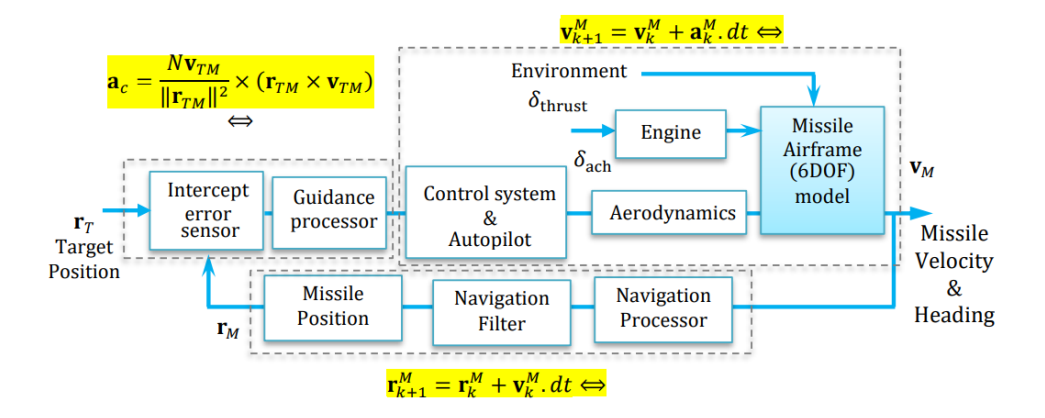
²⁹ (Gas Constant 287.05) [N. m]/(kg. K)



صورة 20: المخطط الصندوقي البنيوي للأنظمة الفرعية في نموذج الصاروخ

في الشكل الموضح أدنا تخطيط بياني يوضح الدارة الكاملة للصاروخ.



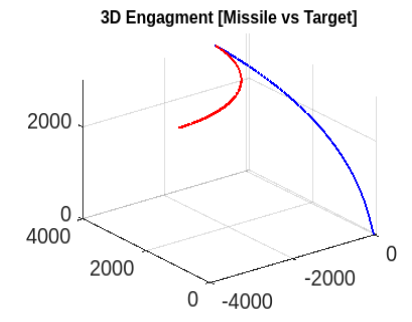


بالنسبة للمثال المدروس في هذه الورقة البحثية، يُفترض فيه أن ارتفاع الصاروخ في موضع الإطلاق يكون عند مستوى سطح البحر؛ وبالتالي، فإن ارتفاع الصاروخ فوق مستوى سطح البحر، للاستخدام في جداول الغلاف الجوي، يُعطى بواسطة $h=-P_M(3)$ وهو المركبة الثالثة من الغلاف الجروب، يُعطى بواسطة يحلق على ارتفاع 3 كم و بسرعة P_M في إطار الأرض. الهدف يحلق على ارتفاع 3 كم و بسرعة 250 م/ث، و مسار طيران الهدف منحنى و منحرف جانبيًا على بعد 1 كم

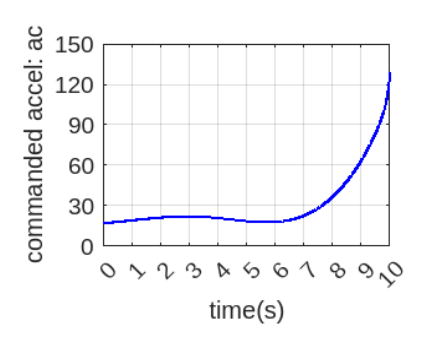
من موقع إطلاق الصاروخ. في لحظة إطلاق الصاروخ، يكون الهدف في الداخل على مسافة نزولية تبلغ 4 كم من موقع الإطلاق. يقتصر وقت المحاكاة على 8 ثوان، لأننا نحتاج إلى 7.6 ثانية على الأكثر لتدمير الهدف. و كملاحظة نهائية نذكر أننا استعملنا خوار زمية تحسين السرب الجزيئي³¹ و ذلك في كل نوع من انواع التوجيه التي أدر جناها لكي تكون المقارنة المطلوبة في أرقى صورها.

³¹ PSO Particle Swarm Optimization

الملاحة النسبية المثلى بواسطة: ZEM

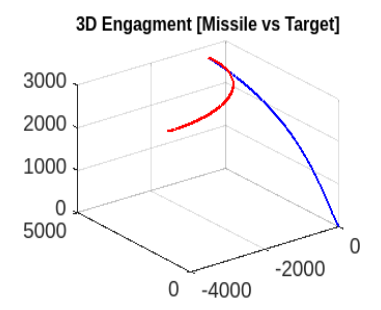


صورة 23: مسارات الصواريخ/الأهداف للعبة 23

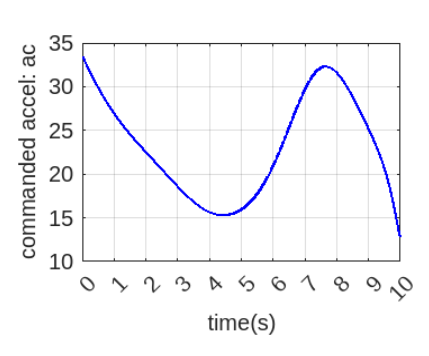


صورة 24: تسريع موجه عند استعمال الـ -3D Pure Pursuit المثالي

من شكل مسار الرحلة (الصورة 23) يمكننا أن نرى أن خط الرؤية مماس لمسار الصاروخ في كل لحظة أثناء الرحلة حتى نقطة الاعتراض (أو بالأحرى عند الاقتراب الأكثر)، حيث تكون مسافة الخطأ تساوي م في وقت قدره t = 7.5070 م نوه هندسة التوجيه t = 7.5070الملاحقة الخالصة حيث تشير سرعة الصاروخ دائمًا نحو الهدف. في الصورة 24 نلاحظ أن التسارع المطلوب في بداية المطاردة له قيم مقبولة 25 م/ث²، ثم في النهاية يزداد إلى قيم كبيرة جدًا 150 م/ث². هذا في الواقع أمر مقلق لأنه يتطلب طاقة كبيرة جدًا و قد لا يكون جسم الصاروخ قادرًا على التعامل مع هذه المتطلبات. لحل هذه المشكلة، سنرى استجابة الخوارزمية المحسنة لهذا الإصدار.



صورة 21: مسارات الصواريخ بمطاردة الهدف باستعمال التوجيه ZEM-PN



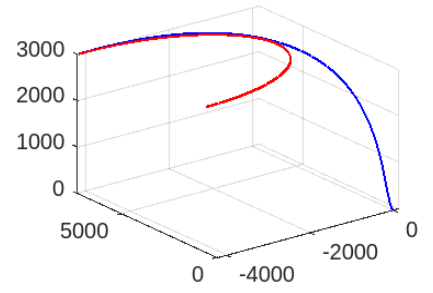
صورة 22: تسارع موجه للحصول على أفضل أداء لـ

توضح الصورة 21 مسارات الصاروخ/الهدف أثناء الرحلة، واعتراضهما في صورة ثلاثية الأبعاد. و كما نرى في هذا الشكل، فإن القاذفة موجهة مباشرة نحو الهدف في وقت الإطلاق، و يتسبب توجيه ZEM-PN في دوران الصاروخ في اتجاه يقود الهدف كما هو مطلوب لضرب هدف متحرك تبدأ مناورة الصاروخ هذه عند تشغيل التوجيه (0.5 ثانية). في هذا الوقت المبكر من الرحلة، تكون سرعة الصاروخ بطيئة، مما يتسبب في المبالغة في تقدير مقدار المناورة. و مع اكتساب الصاروخ للسرعة، يتم تصحيح مسار رحلة الصاروخ حتى الاعتراض مع الهدف عند t = 7.4275 ثانية مع مسافة الخطأ تساوى 0.1612 متر كما نرى في نتيجة المحاكاة. يكون التسارع المطلوب (انظر الشكل 22) مقبولًا و يبدأ بقيم معقولة و يبقى قريبًا من هذا الطلب، و هذا يعكس متطلبات الطاقة الأقل لتوجيه الصاروخ.

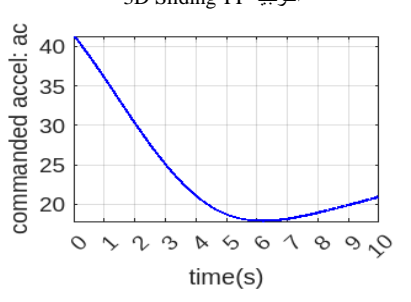
ب. التوجيه الأمسثل المقترح للمطاردة النقية ثلاثية الأبسعاد:

ج. إقتراح الملاحقة المثلى للانزلاق ثلاثى الأبعاد:

3D Engagment [Missile vs Target]



صورة 25: مسارات الصواريخ/الأهداف باستخدام التوجيه 3D Sliding-PP



صورة 26: تسريع موجه عند استعمال الـ 3D Sliding-PP

من خلال أشكال المحاكاة أعلاه، قمنا بتوضيح تأثير التوجيه المقترح على تطور مسار الطيران أثناء وقت المحاكاة. يتم تنفيذ هذه الطريقة بسهولة ويمكن الحصول على أداء التتبع الأمثل المطلوب من خلال اختيار مكاسب وحدة التحكم بشكل مناسب باستخدام خوارز مية تحسين السرب الجزيئي 32.

$$\mathbf{a}_c = \left\{ K_1 \cdot \mathbf{r} + \left(\frac{\mathbf{v}_m}{r}\right) \frac{d\mathbf{r}}{dt} \right\} - \left(\frac{K_2}{r^2}\right) \|\mathbf{s}\|^{K_3} \tanh(\mathbf{s}) \times \mathbf{r}$$

إن استخدام الدالتين (.) tanh(.) أو (.) sat(.) بدلاً من (.) sat(.) في معادلة التسارع الجانبي ساعد في تقليل الاندندبات، و تقليل الاهتزازات وتحسين استقرار النظام وأدائه في أنظمة التحكم في وضع الانز لاق. توضح الصورة 25 المسارين الصاروخ و الهدف و نقطة اعتراضهما في الوقت t=7.3853 ثانية مع مسافة الخطأ = 0.1598 متر. و من الصورة 26 يمكننا أيضًا ملاحظة أن التسارع المطلوب ليس مرتفعًا بشكل مفرط. بيدأ مرتفعًا نسبيًا ثم ينخفض نحو نهاية المطاردة، و يستقر عند قيمة تقريبا هي المجال $20 < |a_c| < 22$ المجال و المحال و المحال و المحال و المحال و المحال و التحكم لا تتطلب

قدرًا كبيرًا من الطاقة. من ناحية أخرى، نلاحظ أن الضوضاء لا تؤثر على التحكم على الإطلاق.

الجدول أسفله يبرز مقارنة بين النتائج الثلاثة من حيث زمن أقرب اقتراب ومسافة الخطأ.

الجدول 1 مقارنة نتائج المحاكاة

	ZEM	3D-PP	3D-PP Silding
	Guidance	Guidance	Guidance
M_d	0.1612 [m]	0.1497 [m]	0.1598 [m]
$t_{\rm cap}$	7.4275 [s]	7.5070 [s]	7.3853 [s]

يُظهر أمر المطاردة الخالصة ثلاثية الأبعاد المقترح تتبعًا جيدًا (حتى في بيئة صاخبة)، و يسجل أقل مسافة خطأ في أقصر وقت، و بالتالي فهو قانون التوجيه الأكثر قوة. كما أن الأمر إلى خط البصر له نتائج جيدة في مسافة الخطأ، حتى أنه استغرق وقتًا أطول من الطريقتين الأخربين.

حقق أمر D-PP 3 نتائج مقبولة بسبب استخدام المكاسب المحسنة (إنه فعال في استراتيجية التحكم الخاصة به و لكنه يستهلك المزيد من الطاقة مقارنة بالطرق الأخرى. يوضح الجدول أيضًا أن ZEM سجل أقل مسافة خطأ، بينما سجل التوجيه بالمطاردة D-PP 3 أقصر وقت لأقرب اقتراب.

5. خاتمة

في هذه الدراسة، تم تطوير خوارزمية جديدة لاعتراض الأهداف بصواريخ أرض-جو، مع التركيز على المطاردة الخالصة المعززة بالتحكم في وضع الانزلاق. أظهرت الخوارزمية أداءً جيدا، حيث أظهرت تحسينات كبيرة على الطرق الحالية من حيث وقت الاقتراب الأقرب و المتانة للضوضاء. تنفيذها بسيط، و يتطلب الحد الأدنى من الطاقة و التكلفة.

كشف التحليل المقارن مع الخوار زميات السالفة عن نتائج متفوقة، مما يجعل النهج المقترح فعالاً و عمليًا للتطبيقات في العالم الحقيقي.

يضع هذا العمل أساسًا متينًا للبحوث المستقبلية في أنظمة التوجيه و التحكم، مما يعد بدقة و موثوقية معززة.

المصادر

 Jerger, J.J. Systems Preliminary Design.U.S.Naval Air Development Center.Van Nostrand Company, Inc., Princeton, N.J., 1960, 625p.
 ISBN 10: 1258411385 / ISBN 13: 9781258411381

³² Particle Swarm Optimization

- [20] Lukenbill, Francis C.(1990) A Target Missile Engagement Scenario Using Classical Proportional Navigation. Master of Science in Electrical Engineering. Naval Postgraduate School, Monterey, California
- [21] Air Training Command. United States Air Force & technical staff [of] Aero Publishers, Inc. (1960) Fundamentals of Guided Missiles. Aero Publishers, Inc. Los Angeles, California, 575p. https://babel.hathitrust.org/cgi/pt?id=mdp.39015004467075&seq
- [22] Bekhiti, B.(July 12, 2024) Advanced Strategies for Guidance & Control of Surface-Air Missiles, LAP Lambert Academic Publishing. 108p. ISBN-13: 978-620-7-84341-1, ISBN-10: 620784341X.
- [2] Bureau of Naval Personnel. Principles Of Guided Missiles and Nuclear Weapons.1966.Officer Candidate School, NAVPERS 10784-A, 370p.
 - https://archive.org/details/PrinciplesOfGuidedMissilesAndNuclea rWeapons/mode/2up.
- [3] Locke Arthur, S. Guidance: Principles Of Guided Missile Design.1955.Grayson Merrill, U.S. Naval Air Development Center, D. Van Nostrand Company, Inc., Princeton, N.J.
- [4] Garnell, P. and East, D.J. Guided Weapon Control Systems. Pergamon Press Inc. Maxwell House, Royal Military College of Science, New York 10523, U.S.A.1977.
- [5] U.S. Army Missile Command. Military Handbook: Missile Flight Simulation, Part One, Surface-To-Air Missiles.MIL-HDBK-1211(MI) 17 July 1995. http://everyspec.com/MIL-HDBK/MIL-HDBK-1000-1299/MIL_HDBK_1211_2041/
- [6] Mohan, S.R.(2016) Fundamentals of Guided Missiles. Defense Research and Development Organization, New Delhi. https://drdo.gov.in/drdo/monograph/fundamentals-guidedmissiles
- [7] Shneydor N.A. Missile Guidance and Pursuit: Kinematics, Dynamics and Control. Israel Institute of Technology, Coll House, Westergate, Chichester, West Sussex, PO20 6QL England, 1998.https://archive.org/details/missileguidancep0000shne
- [8] George M. Siouris. Missile guidance and control systems. Springer-Verlag New York, Inc, 2004. ISBN 0-387-00726-1. https://doi.org/10.1007/b97614
- [9] Zaikang, Qi, et Lin Defu. Design of Guidance and Control Systems for Tactical Missiles.1st Edition, CRC Press Taylor & Francis Group, 2019, https://doi.org/10.1201/9780429291203
- [10] Morley Frederick Bernhart. Curves of Pursuit and Curves of General Pursuit. University of Oklahoma, Scripta Math 1957-
- [11] Harold, T. Davis. Introduction to Nonlinear Differential and Integral Equations. United States Atomic Energy Commission
- [12] Morley, F.V.(1921) A Curve of Pursuit. The American Mathematical Monthly, 28 (2), 54-61. https://doi.org/10.1080/00029890.1921.11986002
- [13] Krishnan, S. Pursuit Course in Aerial Gunnery. Defense Science Organization, Ministry of Defense, New Delhi. 1956
- [14] Shinar, J. and Gutman, S.(1980) Three-Dimensional Optimal Pursuit and Evasion with Bounded Control. In IEEE Transactions on Automatic Control, 25 (3), 492-496. doi: 10.1109/TAC.1980.1102372
- [15] Puckette, C.C.(1953) The Curve of Pursuit, The Mathematical Gazette, 37 (322), 256-260.doi:10.2307/3610038
- [16] Bureau of Naval Weapons, Weapons Systems Fundamentals: Analysis of Weapons. NAVWEPS OP 3000 (Volume 2), Washington, 1963.
- [17] Charles, T. Myers. Guided Missiles Operations, Design and Theory. McGraw-Hill Book Company, Inc, New York Toronto London 1958. 575p. https://catalog.hathitrust.org/Record/001622285/Home
- [18] Yanushevsky, R. (2018). Modern Missile Guidance.2nd Edition, CRC Press, Taylor & Francis Group. https://doi.org/10.1201/9781351202954.
- [19] Zarchan, P. (2019) Tactical and Strategic Missile Guidance. American Institute of Astronautics and Aeronautics, Inc., Washington, DC, USA. https://doi.org/10.2514/4.105845.